

Staubniederschlagsmessungen im Umfeld des Tagebaus Garzweiler im Jahr 2023 Abschlussbericht

DAKKS

Deutsche
Akkreditierungsstelle
D-PL-14153-03-00

Berichtsnummer: LX17765.1 B01 Die Akkreditierung gilt nur für den in der Urkundenanlage aufgeführten Akkreditierungsumfang.

Versionsnummer: 1

Projektnummer: LX17765.1

Auftraggeber: RWE Power AG

POB-N Abteilung Natur-/Umweltschutz, Datum: 07.05.2024

Braunkohle Stüttgenweg 2 50935 Köln

Auftragsnummer: 4300372801-R4-566

Auftragsdatum: 20.12.2022

Art der Messung: Immissionsmessung nach § 29b BlmSchG

in Verbindung mit 41. BlmSchV

Messkomponenten: Staubniederschlag STN

As, Cd, Pb, Ni, Tl und Hg im Staubniederschlag STN

Messort/Messgebiet: Umfeld des Tagebaus Garzweiler im rheini-

schen Braunkohlerevier

Messzeitraum: 02.01.2023 bis 03.01.2024

Das Dokument besteht aus 67 Seiten.

Seite 1 von 67

Unsere Zeichen:

IS-UT-IMM/ WRo

Die auszugsweise Wiedergabe des Dokumentes und die Verwendung zu Werbezwecken bedürfen der schriftlichen Genehmigung der TÜV SÜD Industrie Service

GmbH.

Die Prüfergebnisse beziehen sich ausschließlich auf die untersuchten Prüfgegenstände.



Inhaltsverzeichnis

1	Beschr	eibung der Messaufgabe	3
	1.1 1.2 1.3 1.4 1.5 1.6 1.7	Aufgabenstellung Administrative Anforderungen und Bewertungsmaßstäbe Messkomponenten Repräsentativität der Messungen Bewertungsmaßstäbe und Luftqualitätsmerkmale Ergänzende Messungen Anforderungen an die Messtechnik Organisatorische Anforderungen	3 4 4 5 5 5
2		sen	
3	Messst	rategie	6
	3.1 3.2 3.3 3.4 3.5 3.6 3.7 3.8	Messgebiet und Messorte Messzeitraum Messzeiten Datenverfügbarkeit Messverfahren Verfahrenskenngrößen Ergebnisunsicherheitn Erfassung und Archivierung der Messdaten	7 7 8 8 8 9
4	Auswer	tung / Messwertverarbeitung1	0
	4.1 4.2 4.3 4.4	Berechnung der Mittelwerte	0
5	Beurtei	lung der Luftqualität und Diskussion1	1
	5.1 5.2 5.3 5.4 5.5 5.6 5.7	Staubniederschlag STN	3 5 7 9
6	Anhang	J	25

Seite 3 von 67 Unser Zeichen/Erstelldatum: IS-UT-IMM/ WRo/ 07.05.2024 Datei: LX17765.1 RWG2023 AB (07.05.2024).docx



1 Beschreibung der Messaufgabe

1.1 Aufgabenstellung

Die RWE Power AG betreibt zur Gewinnung von Braunkohle zur fossilen Energiegewinnung im rheinischen Braunkohlerevier den Tagebau Garzweiler.

Im Rahmen der Umweltverträglichkeitsprüfung einschließlich Umweltprüfung zur Änderung des Braunkohlenplans Garzweiler II sind Fragen hinsichtlich der Auswirkungen des Tagebaubetriebes über den Luftpfad auf das angrenzende Umfeld aufgetreten.

Sollten durch den Tagebau immissionsschutzrechtliche Auswirkungen über den Luftpfad ausgehen, werden diese an die Partikelphase gebunden sein. Auswirkungen durch Stäube werden im Tagebaubetrieb hauptsächlich diffus durch Transport-, Ablagerungs- und Abwehungsvorgänge emittiert. Die Staubbelästigungen nehmen mit zunehmender Entfernung von dem als Flächenquelle wirkenden Tagebau ab.

In Bezug auf Staubbelästigungen des Umfeldes durch den Tagebaubetrieb, werden seit mehreren Jahren Messungen auf Staubniederschlag (sedimentierender Staub) an 20 Messpunkten durchgeführt.

Im Jahr 2023 sollte dieses Messprogramm um die in der Nummer 4.5.1 der TA Luft in Tabelle 6 genannten metallischen und halbmetallischen Inhaltsstoffe erweitert werden.

Die TÜV Süd Industrieservice GmbH wurde von der RWE Power AG damit beauftragt im Jahr 2023 Staubniederschlagsmessungen inklusive der darin adsorbierten Inhaltsstoffe im Umfeld des Tagebaus Garzweiler durchzuführen.

1.2 Administrative Anforderungen und Bewertungsmaßstäbe

Die Messungen sollten durch ein nach DIN EN 17025 akkreditiertes und nach Bundesimmissionsschutzgesetz (BImSchG) notifiziertes Messinstitut durchgeführt werden.

Die TÜV Süd Industrieservice GmbH ist nach den Maßgaben des § 29b BImSchG in Verbindung mit der 41. BImSchV im Tätigkeitsbereich IV (Immissionen) im Stoffbereich P (partikelförmige und an Partikeln adsorbierte Stoffe) bekanntgegeben.

Zudem ist die TÜV Süd Industrieservice GmbH im Bereich der Außenluftüberwachung nach dem "Modul Immissionsschutz" der DIN EN 17025 durch die DAkkS akkreditiert.

Die Messungen wurden unter Berücksichtigung der Forderungen der TA Luft und der 39. Blm-SchV durchgeführt.

1.3 Messkomponenten

Die Auswahl der zu überwachenden Parameter der Immissionsmessungen fand rezeptorspezifisch nach den geltenden Vorgaben der Technischen Anleitung zur Reinhaltung der Luft (TA Luft, 2002) und der 39. Verordnung zur Durchführung des Bundesimmissionsschutzgesetzes (39. BImSchV) und den damit verbundenen Normen und Richtlinien statt.

Seite 4 von 67 Unser Zeichen/Erstelldatum: IS-UT-IMM/ WRo/ 07.05.2024 Datei: LX17765.1 RWG2023 AB (07.05.2024).docx



Es wurden die Parameter Staubniederschlag (STN) sowie die darin enthaltenen Metalle und Halbmetalle Arsen (As), Cadmium (Cd), Nickel (Ni), Blei (Pb), Thallium (Tl) und Quecksilber (Hg) im Staubniederschlag untersucht.

1.4 Repräsentativität der Messungen

Im Rahmen dieses Messprogramms wurden passive Staubniederschlagsmessungen an insgesamt 20 Messstellen durchgeführt.

Die seit mehreren Jahren existierende Messreihe auf Staubniederschlag an 20 Messpunkten wurde ab Januar 2023 um die im Staubniederschlag enthaltenen Metalle und Halbmetalle der TA Luft erweitert.

Die Messungen wurden als ortsfeste und zeitlich fortlaufende Immissionsmessungen über ein gesamtes Jahr durchgeführt.

Die Messpunkte wurden so ausgewählt, dass im Umfeld des Tagebaus beurteilungsrelevante Immissionsorte, bei denen die höchsten Immissionen zu erwarten sind, erfasst werden. Dabei wurde berücksichtigt, dass in Deutschland eine vorherrschende Hauptwindrichtung aus Südwest angetroffen wird. Weitere Details zur Messpunktauswahl befinden sich im Kapitel 3.1 (Messgebiet und Messorte).

Die Messungen wurden im Januar 2023 (02.01.2023) begonnen und endete Anfang Januar 2024 (03.01.2024) und decken somit den Zeitraum eines vollständigen Jahres ab.

Die in der 39. BImSchV und der TA Luft genannten Anforderungen zur Ermittlung der Immissionswerte, die als Mittel über ein gesamtes Jahr zu verstehen sind und auch jahreszeitliche Gänge der Immissionen berücksichtigen, werden mit diesem Messprogramm somit erfüllt.

1.5 Bewertungsmaßstäbe und Luftqualitätsmerkmale

Zum Schutz vor erheblicher Belästigung oder erheblichen Nachteilen wird für den Staubniederschlag (nicht gefährdender Staub) unter der Nummer 4.3.1 der TA Luft ein Immissionswert festgelegt.

Für die Ablagerung (Deposition/Staubniederschlag) von As, Cd, Ni, Pb, Tl und Hg werden in der TA Luft unter Nummer 4.5.1 a) entsprechende Immissionswerte zum Schutz vor schädlichen Umwelteinwirkungen durch Schadstoffdeposition angegeben.

Seite 5 von 67 Unser Zeichen/Erstelldatum: IS-UT-IMM/ WRo/ 07.05.2024 Datei: LX17765.1 RWG2023 AB (07.05.2024).docx



Die folgende Tabelle gibt einen Überblick über die beschriebenen Bewertungsgrundlagen.

Tab. 1 Bewertungskriterien BlmSchG

Parameter	Beurteilungswert (Mittelungszeitraum)		Bewertungs- grundlage				
Staubniederschlag STN							
Staubniederschlag (nicht gefährdender Staub)	0,35 g/(m²d) erhebliche (Jahresmittelwert) Belästigungen		Immissionswert TA Luft Nr. 4.3.1				
Metalle und Halbmetalle	(As, Cd, Cr, Ni, Tl, Pb, Hg)	im STN					
Arsen (As)	4 μg/(m²d) (Jahresmittelwert)						
Blei (Pb)	100 µg/(m²d) (Jahresmittelwert)						
Cadmium (Cd)	2 μg/(m²d) (Jahresmittelwert)	schädliche Umweltein-	Immissionswert				
Nickel (Ni)	15 μg/(m²d) (Jahresmittelwert)	wirkung	TA Luft Nr. 4.5.1 a				
Thallium (Tl)	2 μg/(m²d) (Jahresmittelwert)						
Quecksilber (Hg)	1 μg/(m²d) (Jahresmittelwert)						

1.6 Ergänzende Messungen

Im Rahmen dieses Messprogramms wurden keine weiteren Messungen durchgeführt

1.7 Anforderungen an die Messtechnik

Zur Messung der vorgenannten Komponenten wurden Messverfahren angewendet, die dem aktuellen Stand der Technik entsprechen und dem VDI Regelwerk "Reinhaltung der Luft" bzw. DIN-Normen entstammen.

Die angewandten Verfahren werden in einem späteren Kapitel ausführlich beschrieben.

1.8 Organisatorische Anforderungen

Zur Durchführung dieses Messprogramms wurden die gesamten Materialien für die Probenahme gestellt, die monatlichen Probenahmen der Sammelmedien an den Messpunkten gewährleistet und die zugehörige Analytik der Proben, inklusive der Berichtung der Ergebnisse erbracht.

Seite 6 von 67 Unser Zeichen/Erstelldatum: IS-UT-IMM/ WRo/ 07.05.2024 Datei: LX17765.1 RWG2023 AB (07.05.2024).docx



2 Vorwissen

Im Auftrag der RWE Power werden im Umfeld des Tagebaus Garzweiler seit mehreren Jahren Staubniederschlagsmessungen an insgesamt 20 Messpunkten durch.

Für die Deposition von Stäuben (Staubniederschlag) liegen somit Messdaten einer langjährigen Messreihe vor.

Die im Rahmen dieses Messprogramms vorliegenden Daten weisen, in Bezug auf den sedimentierenden Staub, auf eine niedrige Immissionssituation im Umfeld des Tagebaus hin.

Während besonderer zumeist meteorologisch bedingten Situationen (wie Starkwindereignisse bei gleichzeitiger Abtrocknung des Oberbodens) können kurzfristige und lokal punktuelle Staubausträge aus dem Tagebau auftreten.

Im Rahmen dieses mehrjährigen Messprogramms hat sich gezeigt, dass auch wenn kurzzeitige punktuelle Belästigungen auftreten, diese immer deutlich unterhalb des in der TA Luft unter Nummer 4.3.1 genannten Immissionswertes für Staubniederschlag in Höhe von 0,35 g/(m²*d) als Jahresmittelwert für ein Kalenderjahr liegen.

3 Messstrategie

Die Messstrategie dieses Messprogramms hat sich nach den Anforderungen der VDI-Richtlinie 4280 Blatt 1 (Planung von Immissionsmessungen) gerichtet.

3.1 Messgebiet und Messorte

Die Auswahl der Beurteilungspunkte fand anhand der im Einwirkungsbereich des Tagebaus vorkommenden Rezeptoren statt (schutzgutbezogene Messpunktauswahl).

Nach Maßgaben der Nummer 4.6.2.6 der TA Luft sollen Messungen "...an den Punkten mit mutmaßlich höchster relevanter Belastung für dort nicht nur vorübergehend exponierte Schutzgüter..." durchgeführt werden.

Die nächstgelegenen Wohnbebauungen (Schutzgut menschliche Gesundheit) sowie das Schutzgut Wald/Boden befinden sich in direkter Nachbarschaft des Tagebaus.

Da in Deutschland von einer statistisch vorherrschenden Windrichtung aus Südwesten, mit nordöstlichem Nebenmaximum auszugehen ist, kann davon ausgegangen werden, dass diffuse Staubemissionen statistisch betrachtet hauptsächlich leeseitig zur Hauptwindrichtung in direkter Nachbarschaft zum Tagebau niederschlagen. Somit also hauptsächlich nordöstlich des Tagebaus Garzweiler.

In der folgenden Abbildung sind die insgesamt 20 Messpunkte in einer Übersichtskarte eingezeichnet.





Abb. 1 Übersichtskarte Messpunkte

3.2 Messzeitraum

Die TA Luft verweist in Nummer 4.6.2.4, dass der Messzeitraum in der Regel ein Jahr betragen soll. Zudem wird erwähnt, dass dieser Zeitraum auf 6 Monaten verkürzt werden kann, wenn "die Jahreszeit mit den zu erwartenden höchsten Immissionen erfasst werden".

Der Parameter Staubniederschlag wird bereits im Rahmen einer mehrjährigen Messreihe an insgesamt 20 Messpunkten überwacht. Die Erweiterung des Untersuchungsumfangs dieser langjährigen Messungen um die in der TA Luft genannten Metalle und Halbmetalle wurden im Januar 2023 begonnen und wurden über die Dauer eines gesamten Jahres durchgeführt.

Die Messungen wurden im Januar 2023 (02.01.2023) begonnen und wurden bis Ende Dezember 2023 (03.01.2024) durchgeführt und decken somit den Zeitraum eines vollständigen Jahres ab.

3.3 Messzeiten

Der Messzeitraum bei den Staubniederschlagsmessungen beträgt einen Monat (30 \pm 2 Tage), so dass pro Messpunkt und Messzeitraum eine Monatsprobe gewonnen wird.

In diesen Monatsproben werden neben dem Staubniederschlag ebenfalls die metallischen und halbmetallischen Inhaltsstoffe untersucht.

Seite 8 von 67 Unser Zeichen/Erstelldatum: IS-UT-IMM/ WRo/ 07.05.2024 Datei: LX17765.1 RWG2023 AB (07.05.2024).docx



3.4 Datenverfügbarkeit

Für den Parameter Staubniederschlag werden in der 39. BImSchV und der TA Luft keine expliziten Datenqualitätsziele genannt. Es wird jedoch die für andere Parameter übliche Mindestdatenerfassung von 90 % zur Orientierung zugrunde gelegt.

Aufgrund biologischer und anderer Umstände wie Vandalismus sind während der bisherigen Messungen nur vereinzelte Messausfälle zu verzeichnen gewesen.

3.5 Messverfahren

Zur Messung der vorgenannten Komponenten wurden Messverfahren angewendet, die dem aktuellen Stand der Technik entsprechen und dem VDI Regelwerk "Reinhaltung der Luft" bzw. DIN-Normen entstammen.

Die Ermittlung des Staubniederschlages erfolgt mit diskontinuierlich arbeitenden Geräten nach dem Bergerhoff-Verfahren. Das Verfahren ist in der VDI-Richtlinie 4320, Blatt 2 beschrieben. Nach vorgenannter Richtlinie beträgt bei diesem Verfahren die Probenahmedauer einen Monat (30±2 Tage).

Für die Metallanalytik von As, Pb, Cd, Ni und Tl in der Deposition werden die Proben nach dem Eindampfen mit Hilfe eines geschlossenen Aufschlusses des Trockenrückstands mittels eines oxidierenden Säureaufschluss (HNO₃, HF und H₂O₂) aufgeschlossen. Dies entspricht dem in der der VDI 2267 Blatt 3 genannten Aufschluss.

Die Metallanalytik der Elemente in der Deposition erfolgt per Multielement-Bestimmung mit der Massenspektrometrie mit induktiv gekoppeltem Plasma (ICP-MS) gemäß VDI 2267 Blatt 15 und DIN EN 15841.

Die Messungen erfolgen wie beim Staubniederschlag monatsweise.

Die Ermittlung des Quecksilbers im Staubniederschlag erfolgt nach der aktuellen Norm DIN EN 15853 mit Hilfe einer separaten Probenahmeeinrichtung und separatem Aufschluss und Analyse.

3.6 Verfahrenskenngrößen

Die Grundlagen der Berechnung der Verfahrenskenngrößen und der Messunsicherheiten werden in der "ISO/IEC Guide to the Expression of Uncertainty in Measurement, (GUM) beschrieben. Die spezifischen Anforderungen an die Ermittlung der Messunsicherheit für Messungen mit diskontinuierlichen Messverfahren werden in der DIN EN ISO 20988 dargestellt.

Die Verfahrenskenngrößen Messunsicherheit und Nachweisgrenze der Bestimmung des Staubniederschlages nach der Bergerhoffmethode wurde nach Kapitel 8 "Verfahrenskenngrößen" der VDI-Richtlinie 4320, Blatt 2 ermittelt. Die Nachweisgrenze wurde dabei, wie in der Richtlinie beschrieben, nach der Leerwertmethode durchgeführt. Die Nachweisgrenze bei der Bestimmung des Staubniederschlages beträgt 0,001 g/(m²*d).



Die erweiterte Messunsicherheit wurde, wie in der vorgenannten Richtlinie beschrieben, durch direkten Ansatz ermittelt. Hierzu wurde der Staubniederschlag nach paralleler Probenahme (Doppelbestimmung) errechnet.

Tab. 2 Verfahrenskenngrößen Staubniederschlag

Kenngröße	Wert STN	
Nachweisgrenze	0,001 g/(m ² *d)	
erweiterte Messunsicherheit U _{0,95}	0,023 g/(m ^{2*} d)	

Die Bestimmungssgrenze der analytischen Bestimmung von As, Cd, Ni, Pb und TI im Staubniederschlag mit der ICP-MS wurde nach der in Kapitel 6 "Verfahrenskenngrößen" der VDI-Richtlinie 2267, Blatt 15 beschriebenen Leerwertmethode durchgeführt. Für die Bestimmung der o.g. Inhaltstoffe im Schwebstaub PM10 wurden die Bestimmungsgrenzen ebenfalls nach der Leerwertmethode gemäß VDI-Richtlinie 2267, Blatt 1 bestimmt.

Die erweiterte Messunsicherheit wurde durch Doppelbestimmung gemäß DIN EN 20988, Anhang C, Abschnitt C.10 ermittelt. Die ermittelten Werte werden in der folgenden Tabelle dargestellt.

Tab. 3 Verfahrenskenngrößen Metallanalytik im Staubniederschlag

Vannarä@a	As	Cd	Ni	Pb	TI	Hg
Kenngröße	[µg/(m²*d)] *					
Bestimmungs- grenze	0,03	0,04	0,15	0,15	0,15	0,01
erweiterte Messunsicherheit U _{0,95}	0,04	0,04	0,5	1,9	./.	./.

bezogen auf einen mittleren Expositionszeitraum von 30 Tagen

3.7 Ergebnisunsicherheiten

Die Ergebnisunsicherheit der Messungen ist abhängig von den Unsicherheitsbeiträgen der angewandten Verfahren, der Auswahl der Messzeiten und der Messpunktauswahl.

Da es sich bei den Messungen um Punktmessungen handelte und damit keine Repräsentativitäten in Bezug auf andere Messpunkte, bzw. größere Gebiete stattfinden sollten, entfällt der hierdurch anfallende Unsicherheitsbetrag.

Da an den Messpunkten ortsfeste, den gesamten Zeitraum eines Jahres abdeckende Messungen durchgeführt wurden, entfällt der Unsicherheitsbetrag in Bezug auf die Messzeit ebenfalls.

3.8 Erfassung und Archivierung der Messdaten

Alle Probenahmedaten werden schriftlich auf dem Probenahmeprotokoll erfasst. Diese werden in Papierform sowie in elektronischer Form archiviert. Alle laboranalytisch anfallenden Daten

Seite 10 von 67 Unser Zeichen/Erstelldatum: IS-UT-IMM/ WRo/ 07.05.2024 Datei: LX17765.1 RWG2023 AB (07.05.2024).docx



werden auf elektronische Weise erfasst und in einem Laborinformations- und Managementsystem LIMS gespeichert und archiviert.

Die Verarbeitung der ermittelten Messdaten erfolgte mit einem Tabellenkalkulationsprogramm.

4 Auswertung / Messwertverarbeitung

4.1 Berechnung der Mittelwerte

Beim Parameter Staubniederschlag wurden aufgrund der unterschiedlich langen Messzeiträume der einzelnen Monatsmessungen (die Zeiträume variieren in der Regel zwischen 28 und 32 Tagen) zur Berechnung der Mittelwerte im Messzeitraum über die Zeit gewichtete Mittelwerte angegeben.

4.2 Behandlung von Werten unterhalb der Bestimmungsgrenze

Bei den vorgenannten Verfahren werden Messwerte unterhalb der jeweiligen Bestimmungsgrenze mit dem vollen Betrag der Bestimmungsgrenze in die Mittelwertberechnung einbezogen.

Messwerte unterhalb der Bestimmungsgrenze werden mit einem "<" entsprechend gekennzeichnet.

4.3 Behandlung von Messausfällen

Messausfälle wurden mit Angabe des entsprechenden Grundes dokumentiert.

4.4 Behandlung von Ausreißern

Ob ein gemessener Wert ein Ausreißer aus dem Datenkollektiv ist, kann rechnerisch durch den Ausreißertest nach Grubbs berechnet werden.

Auf eine rein rechnerische Bestimmung eines solchen Ausreißers wird während der Messungen verzichtet, da diese Berechnung auch reale Immissionssituationen bei starker Streubreite der gemessenen Werte als Ausreißer aus dem Datenkollektiv erkennt.



5 Beurteilung der Luftqualität und Diskussion

Im Folgenden werden die errechneten Immissionskenngrößen dargestellt. Alle ermittelten Einzelmesswerte sowie graphische Darstellungen dieser Einzelergebnisse befinden sich im Anhang.

5.1 Staubniederschlag STN

Für den sedimentierenden Staub (Staubniederschlag) als nicht gefährdender Staub wird in der TA Luft unter Nr. 4.3.1 ein Immissionswert von 0,35 g/(m²·d) als Mittelwert über ein gesamtes Jahr zum Schutz vor erheblichen Belästigungen oder erheblichen Nachteilen festgelegt.

Die folgende Tabelle listet die im Rahmen dieses Projektes im Jahr 2023 an den insgesamt 20 Messpunkten ermittelten Kenngrößen auf.

Tab. 4 Kenngrößen Staubniederschlag

Mess- punkt	Kenngröße STN [g/(m²*d)]	Mess- punkt	Kenngröße STN [g/(m²*d)]
G3	0,097	G31	0,130
	(28 %)	001	(37 %)
G7	0,072	G32	0,060
G/	(20 %)	G3Z	(17 %)
G11	0,120	G37	0,082
GII	(34 %)	GSI	(24 %)
G12	0,086	C20	0,092
GIZ	(25 %)	G38	(26 %)
G19	0,066	G39	0,072
G19	(19 %)		(21 %)
G22	0,086	G40	0,077
G22	(24 %)		(22 %)
005	0,106	G41	0,051
G25	(30 %)	G41	(15 %)
C20	0,084	C40	0,080
G28	(24 %)	G42	(23 %)
C20	0,062	C44	0,070
G29	(18 %)	G44	(20 %)
C20	0,083	CAE	0,055
G30	(24 %)	G45	(16 %)

(Werte in Klammern) = Verhältnis ermittelte Kenngröße zum Immissionswert TA Luft

Aus den vorgestellten Daten ist zu erkennen, dass alle im Jahr 2023 ermittelten Werte deutlich unterhalb des Immissionswertes der TA Luft in Höhe von 0,35 g/m²·d angesiedelt sind. Alle ermittelten Kenngrößen bewegen sich im Bereich von 15 % bis maximal 37 % des Immissionswertes der TA Luft.

Die folgende Abbildung stellt die im Jahr 2023 ermittelten Kenngrößen für den Staubniederschlag nochmals graphisch dar.

Seite 12 von 67 Unser Zeichen/Erstelldatum: IS-UT-IMM/ WRo/ 07.05.2024 Datei: LX17765.1 RWG2023 AB (07.05.2024).docx



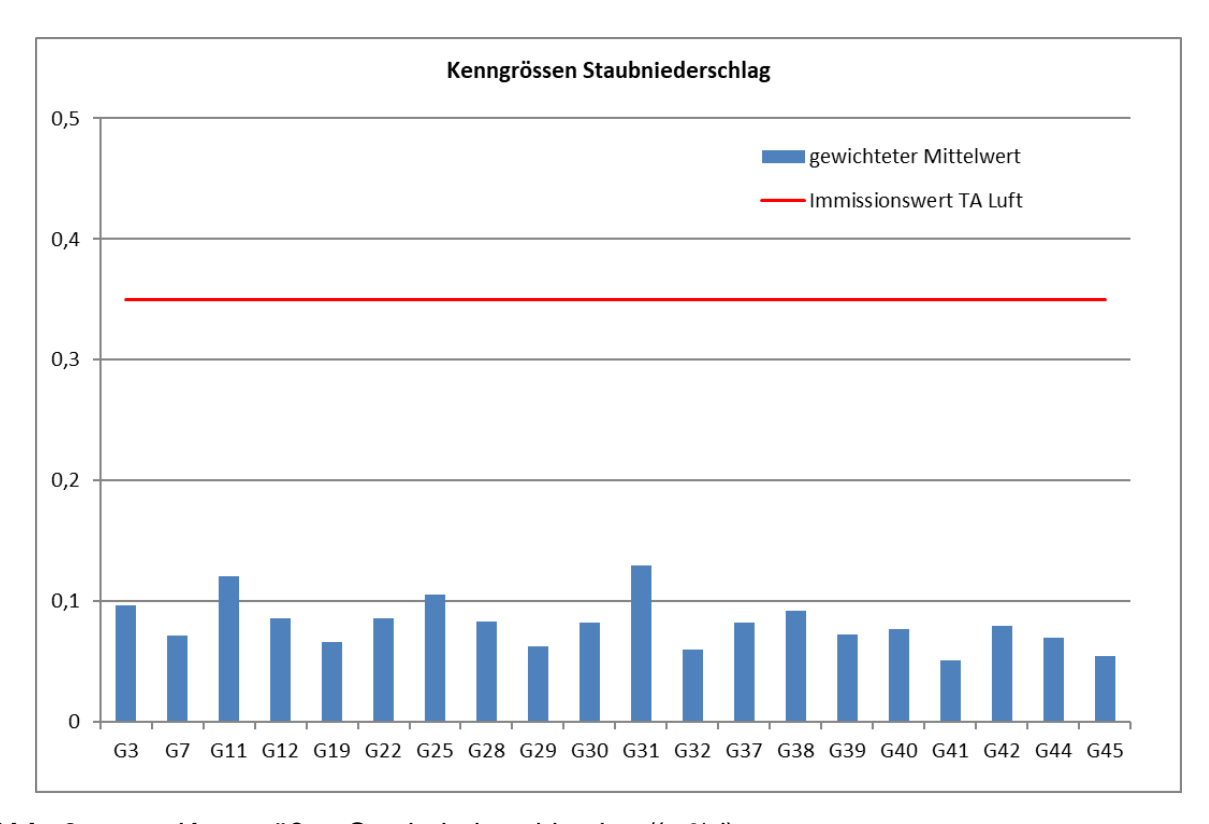


Abb. 2 Kenngrößen Staubniederschlag in g/(m²*d)



5.2 Arsen im Staubniederschlag STN

Zum Schutz vor schädlichen Umwelteinwirkungen wird in der Nummer 4.5.1 der TA Luft für Arsen im Staubniederschlag ein Immissionswert in Höhe von 4 μg/(m²-d) genannt.

Die folgende Tabelle listet die im Rahmen dieses Projektes ermittelten Kenngrößen für Arsen im Staubniederschlag im Jahr 2023 an den insgesamt 20 Messpunkten auf.

Tab. 5 Kenngrößen Arsen im Staubniederschlag

Mess- punkt	Kenngröße As im STN [µg/(m²*d)]	Mess- punkt	Kenngröße As im STN [µg/(m²*d)]
G3	0,36	G31	0,46
	(9 %)		(12 %)
G7	0,33	G32	0,34
	(8 %)	002	(8 %)
G11	0,64	G37	0,34
GII	(16 %)	G31	(8 %)
G12	0,43	C20	0,37
GIZ	(11 %)	G38	(9 %)
G19	0,27	G39	0,3
G19	(7 %)		(7 %)
G22	0,36	C40	0,2
GZZ	(9 %)	G40	(5 %)
G25	0,65	C41	0,2
G25	(16 %)	G41	(6 %)
G28	0,29	G42	0,3
G20	(7 %)	G42	(8 %)
C20	0,22	G44	0,2
G29	(5 %)	G44	(5 %)
G30	0,42	CAE	0,20
G30	(10 %)	G45	(5 %)

(Werte in Klammern) = Verhältnis ermittelte Kenngröße zum Immissionswert TA Luft

Die Daten in der vorstehenden Tabelle zeigen, dass der Immissionswert der TA Luft in Höhe von von 4 μg/(m²·d) an allen Messpunkten eingehalten wird. Alle bisher ermittelten Kenngrößen sind im Bereich von 5 bis maximal 16 % des Immissionswertes der TA Luft angesiedelt.



Die folgende Abbildung stellt die ermittelten Kenngrößen nochmals graphisch dar.

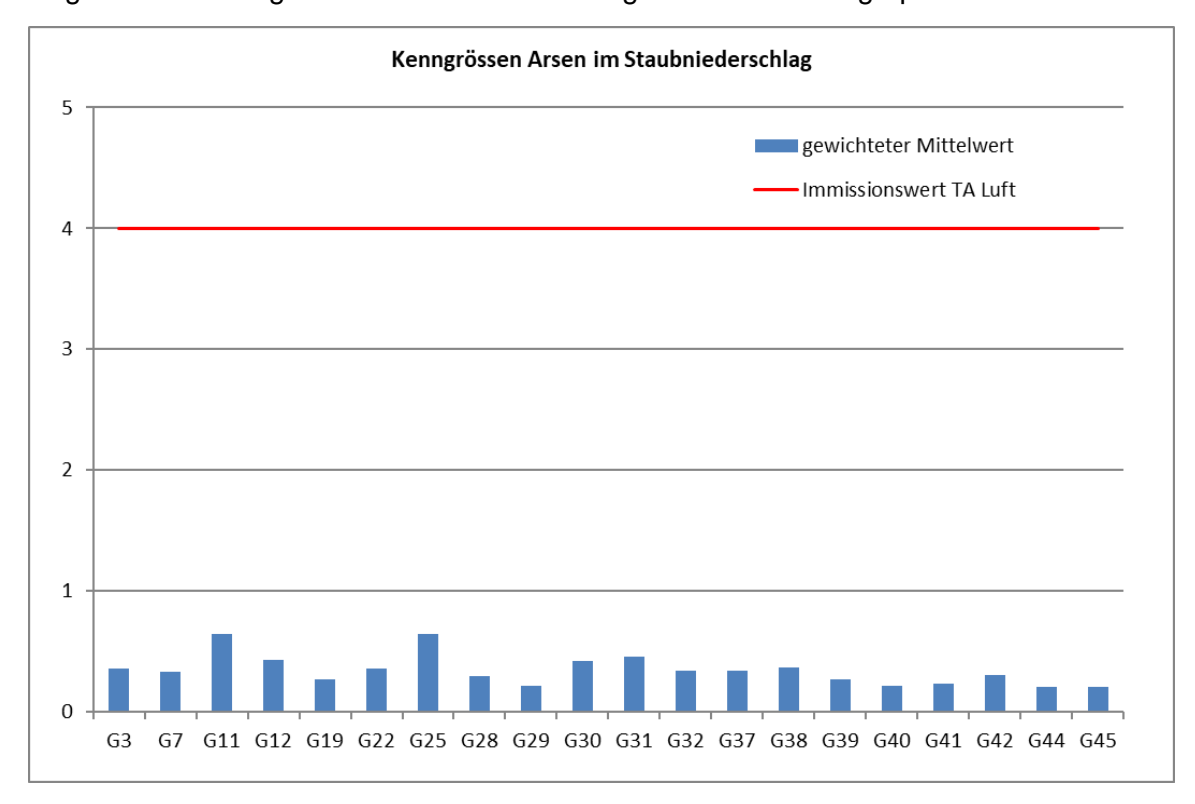


Abb. 3 Kenngrößen Arsen im Staubniederschlag in μg/(m²*d)



5.3 Blei im Staubniederschlag STN

Zum Schutz vor schädlichen Umwelteinwirkungen wird in der Nummer 4.5.1 der TA Luft für Blei im Staubniederschlag ein Immissionswert in Höhe von 100 μg/(m²-d) genannt.

Die folgende Tabelle listet die im Rahmen dieses Projektes ermittelten Kenngrößen für Blei im Staubniederschlag im Jahr 2023 an den insgesamt 20 Messpunkten auf.

Tab. 6 Kenngrößen Blei im Staubniederschlag

Mess- punkt	Kenngröße Pb im STN [µg/(m²*d)]	Mess- punkt	Kenngröße Pb im STN [µg/(m²*d)]
G3	4,3 (4 %)	G31	2,6 (3 %)
G7	2,9 (3 %)	G32	2,1 (2 %)
G11	4,5 (4 %)	G37	2,3 (2 %)
G12	2,8 (3 %)	G38	2,7 (3 %)
G19	1,6 (2 %)	G39	2,8 (3 %)
G22	3,2 (3 %)	G40	2,5 (3 %)
G25	3,2 (3 %)	G41	2,0 (2 %)
G28	3,6 (4 %)	G42	2,2 (2 %)
G29	2,4 (2 %)	G44	2,3 (2 %)
G30	2,9 (3 %)	G45	2,1 (2 %)

(Werte in Klammern) = Verhältnis ermittelte Kenngröße zum Immissionswert TA Luft

Die Daten in der vorstehenden Tabelle zeigen, dass der Immissionswert der TA Luft in Höhe von von 100 $\mu g/(m^2 \cdot d)$ an allen Messpunkten deutlich unterschritten wird. Alle bisher ermittelten Kenngrößen sind im Bereich bis maximal 4 % des Immissionswertes der TA Luft angesiedelt.



Die folgende Abbildung stellt die ermittelten Kenngrößen nochmals graphisch dar.

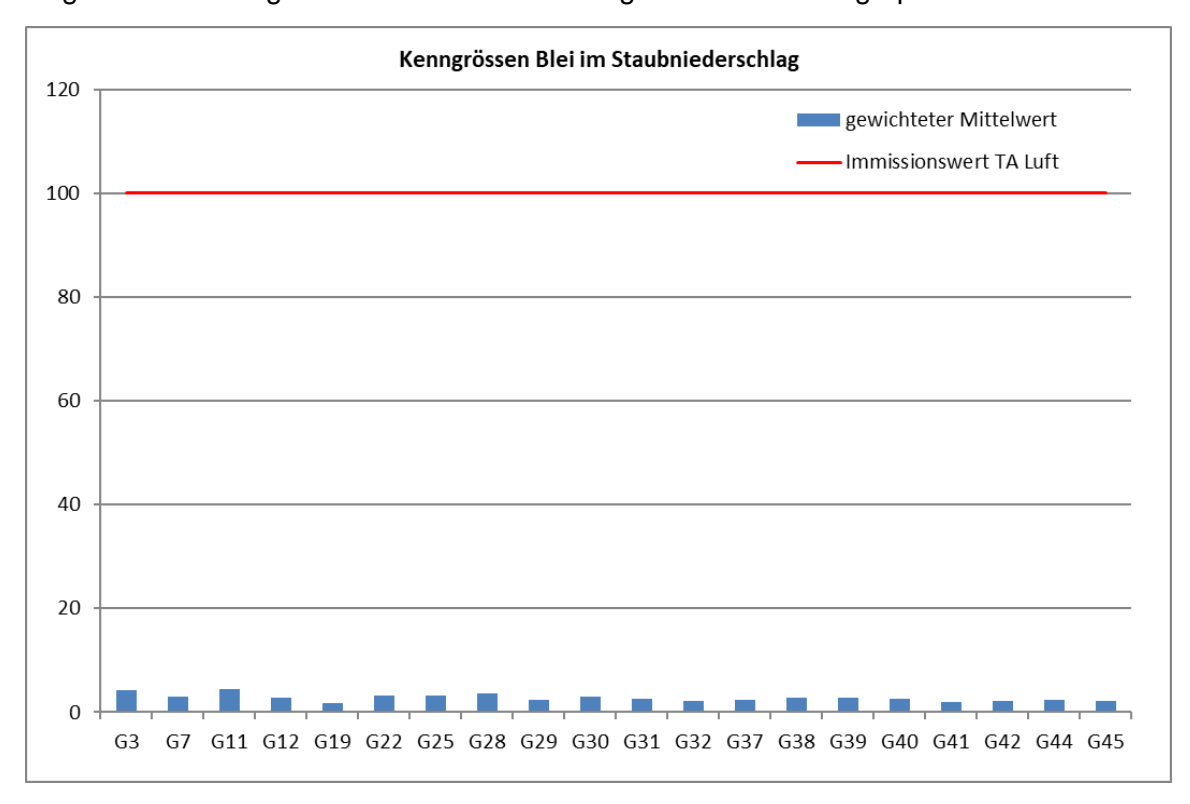


Abb. 4 Kenngrößen Blei im Staubniederschlag



5.4 Cadmium im Staubniederschlag STN

Zum Schutz vor schädlichen Umwelteinwirkungen wird in der Nummer 4.5.1 der TA Luft für Cadmium im Staubniederschlag ein Immissionswert in Höhe von 2 µg/(m²·d) genannt.

Die folgende Tabelle listet die im Rahmen dieses Projektes ermittelten Kenngrößen für Cadmium im Staubniederschlag im Jahr 2023 an den insgesamt 20 Messpunkten auf.

Tab. 7 Kenngrößen Cadmium im Staubniederschlag

Mess- punkt	Kenngröße Cd im STN [µg/(m²*d)]	Mess- punkt	Kenngröße Cd im STN [µg/(m²*d)]
G3	0,05	G31	0,06
	(2 %)	001	(3 %)
G7	0,05	G32	0,04
	(2 %)	002	(2 %)
G11	0,06	G37	0,06
011	(3 %)	037	(3 %)
G12	0,05	G38	0,05
GIZ	(3 %)	G36	(3 %)
G19	0,05	G39	0,05
G19	(2 %)		(2 %)
G22	0,05	G40	0,05
GZZ	(2 %)		(3 %)
G25	0,07	G41	0,05
G25	(3 %)	G41	(2 %)
G28	0,05	G42	0,04
G20	(2 %)	G42	(2 %)
G29	0,05	G44	0,05
G29	(2 %)	G44	(2 %)
G30	0,05	CAE	0,05
G30	(2 %)	G45	(2 %)

(Werte in Klammern) = Verhältnis ermittelte Kenngröße zum Immissionswert TA Luft

Die Daten in der vorstehenden Tabelle zeigen, dass der Immissionswert der TA Luft in Höhe von 2 μg/(m²·d) an allen Messpunkten deutlich unterschritten wird. Alle bisher ermittelten Kenngrößen sind im Bereich bis maximal 3 % des Immissionswertes der TA Luft angesiedelt.



Die folgende Abbildung stellt die ermittelten Kenngrößen nochmals graphisch dar.

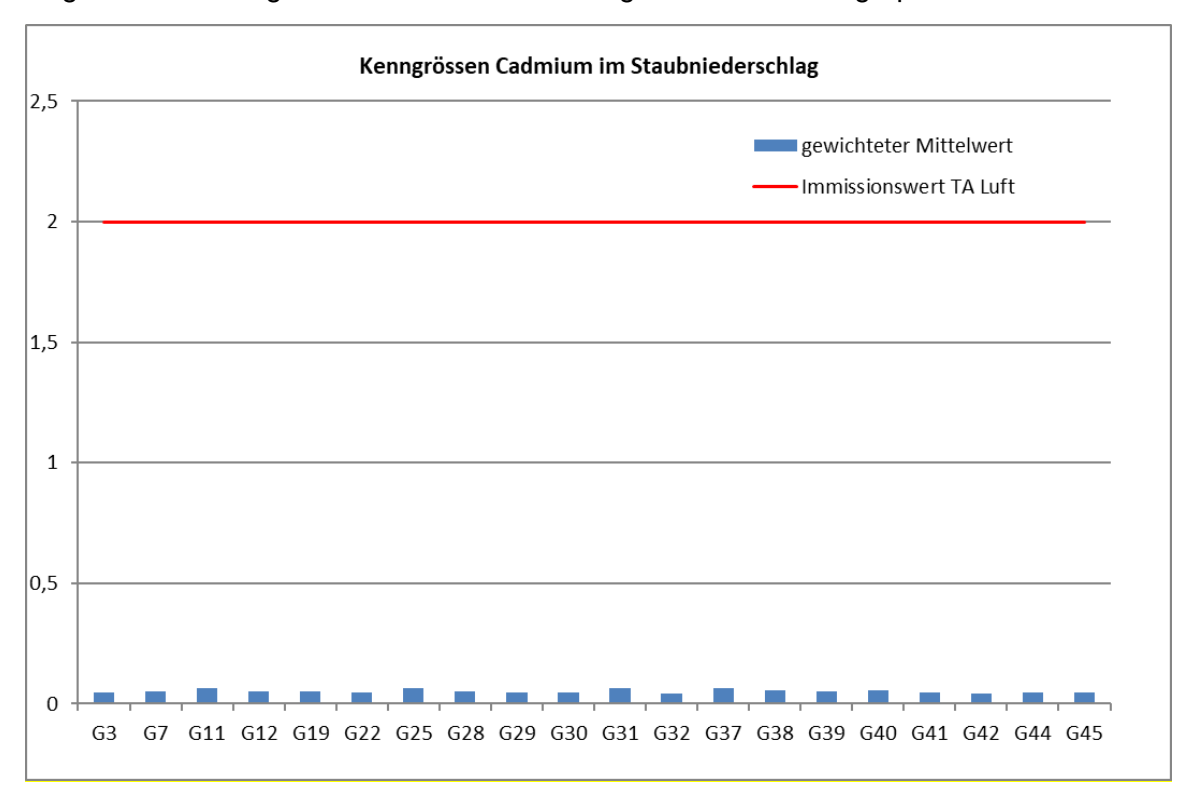


Abb. 5 Kenngrößen Cadmium im Staubniederschlag in μg/(m²*d)



5.5 Nickel im Staubniederschlag STN

Zum Schutz vor schädlichen Umwelteinwirkungen wird in der Nummer 4.5.1 der TA Luft für Nickel im Staubniederschlag ein Immissionswert in Höhe von 15 μg/(m²-d) genannt.

Die folgende Tabelle listet die im Rahmen dieses Projektes ermittelten Kenngrößen für Nickel im Staubniederschlag im Jahr 2023 an den insgesamt 20 Messpunkten auf.

Tab. 8 Kenngrößen Nickel im Staubniederschlag

Mess- punkt	Kenngröße Ni im STN [µg/(m²*d)]	Mess- punkt	Kenngröße Ni im STN [µg/(m²*d)]
G3	1,2 (8 %)	G31	1,8 (12 %)
G7	1,2 (8 %)	G32	1,1 (8 %)
G11	1,9 (13 %)	G37	1,6 (11 %)
G12	1,4 (9 %)	G38	1,4 (9 %)
G19	1,4 (9 %)	G39	1,3 (9 %)
G22	1,4 (9 %)	G40	1,2 (8 %)
G25	2,1 (14 %)	G41	1,0 (7 %)
G28	1,1 (7 %)	G42	0,8 (5 %)
G29	1,0 (6 %)	G44	1,0 (7 %)
G30	1,4 (9 %)	G45	0,9 (6 %)

(Werte in Klammern) = Verhältnis ermittelte Kenngröße zum Immissionswert TA Luft

Die Daten in der vorstehenden Tabelle zeigen, dass der Immissionswert der TA Luft in Höhe von 15 μg/(m²-d) an allen Messpunkten unterschritten wird. Alle bisher ermittelten Kenngrößen sind im Bereich von 5 bis maximal 14 % des Immissionswertes der TA Luft angesiedelt.



Die folgende Abbildung stellt die ermittelten Kenngrößen nochmals graphisch dar.

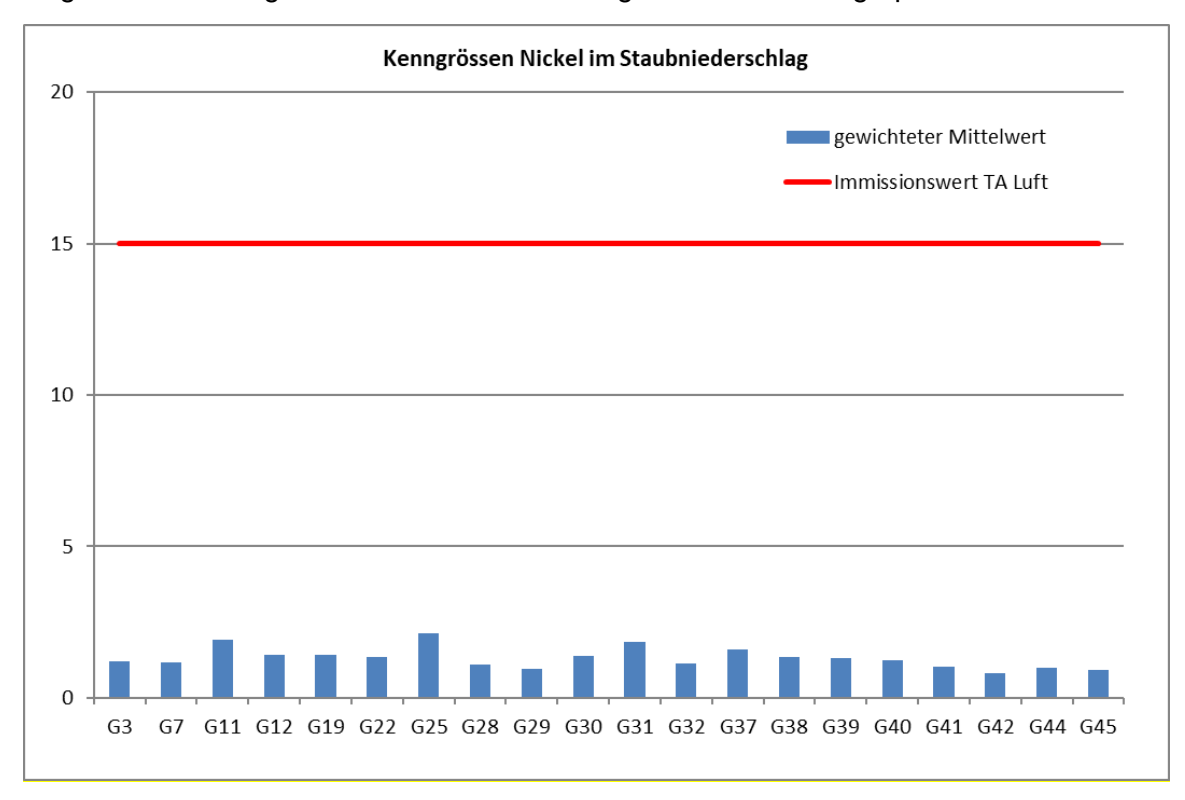


Abb. 6 Kenngrößen Nickel im Staubniederschlag in μg/(m²*d)



5.6 Thallium im Staubniederschlag STN

Zum Schutz vor schädlichen Umwelteinwirkungen wird in der Nummer 4.5.1 der TA Luft für Thallium im Staubniederschlag ein Immissionswert in Höhe von 2 μg/(m²-d) genannt.

Die folgende Tabelle listet die im Rahmen dieses Projektes ermittelten Kenngrößen für Thallium im Staubniederschlag im Jahr 2023 an den insgesamt 20 Messpunkten auf.

Tab. 9 Kenngrößen Thallium im Staubniederschlag

Mess- punkt	Kenngröße TI im STN [µg/(m²*d)]	Mess- punkt	Kenngröße TI im STN [µg/(m²*d)]
G3	0,02	G31	0,03
	(1 %)		(1 %)
G7	0,02	G32	0,02
	(1 %)		(1 %)
G11	0,03	G37	0,02
	(1 %) 0,02		(1 %) 0,02
G12	•	G38	
	(1 %) 0,02	G39	(1 %) 0,02
G19	(1 %)		(1 %)
	0,02		0,01
G22	(1 %)	G40	(1 %)
_	0,03	_	0,02
G25	(1 %)	G41	(1 %)
	0,02	0.40	0,01
G28	(1 [°] %)	G42	(1 %)
000	0,01	044	0,01
G29	(1 %)	G44	(1 %)
C20	0,02	CAE	0,01
G30	(1 %)	G45	(1 %)

(Werte in Klammern) = Verhältnis ermittelte Kenngröße zum Immissionswert TA Luft

Die Daten in der vorstehenden Tabelle zeigen, dass der Immissionswert der TA Luft in Höhe von 2 μg/(m²·d) an allen Messpunkten deutlich unterschritten wird. Alle bisher ermittelten Kenngrößen sind im Bereich von 1 % des Immissionswertes der TA Luft angesiedelt.



Die folgende Abbildung stellt die ermittelten Kenngrößen nochmals graphisch dar.

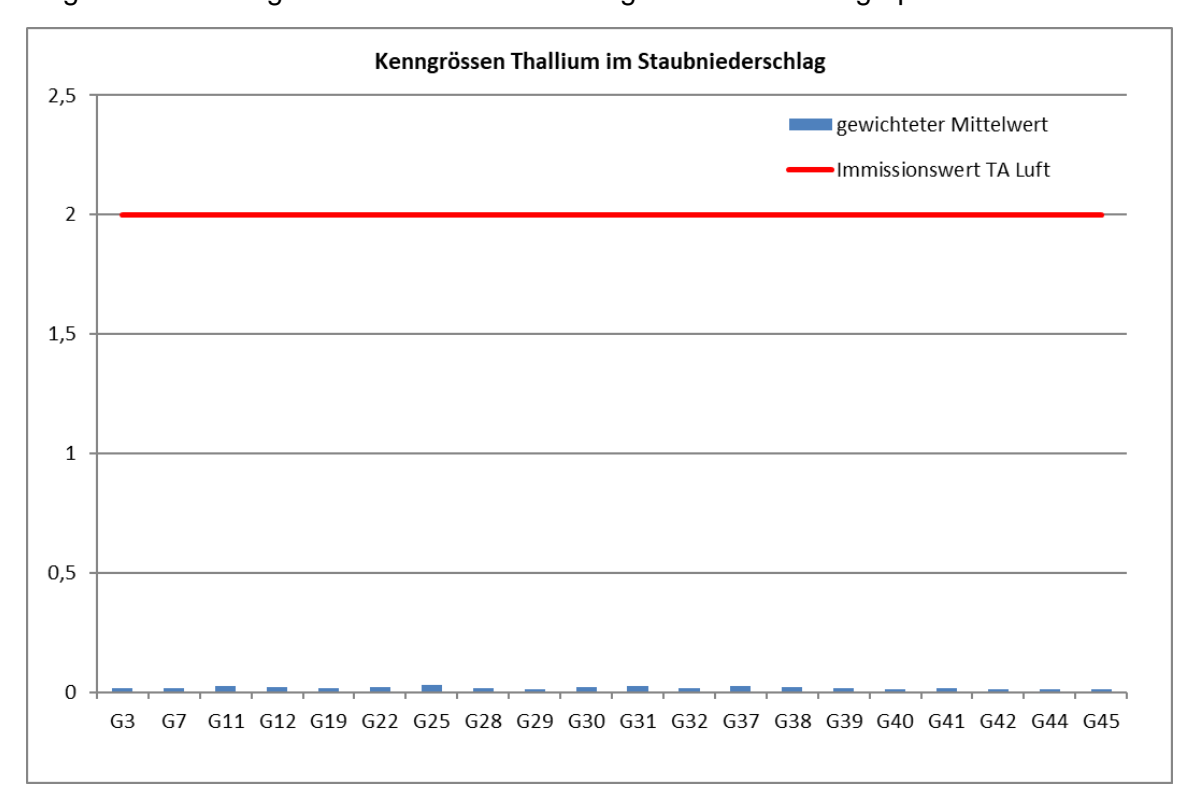


Abb. 7 Kenngrößen Thallium im Staubniederschlag in μg/(m²*d)



5.7 Quecksilber im Staubniederschlag STN

Zum Schutz vor schädlichen Umwelteinwirkungen wird in der Nummer 4.5.1 der TA Luft für Quecksilber im Staubniederschlag ein Immissionswert in Höhe von 1 µg/(m²·d) genannt.

Die folgende Tabelle listet die im Rahmen dieses Projektes ermittelten Kenngrößen für Quecksilber im Staubniederschlag im Jahr 2023 an den insgesamt 20 Messpunkten auf.

Tab. 10 Kenngrößen Quecksilber im Staubniederschlag

Mess- punkt	Kenngröße Hg im STN [µg/(m²*d)]	Mess- punkt	Kenngröße Hg im STN [µg/(m²*d)]
G3	0,02	G31	0,02
	(2 %)		(2 %)
G7	0,02	G32	0,03
	(2 %)	032	(3 %)
G11	0,02	G37	0,02
GII	(2 %)	G31	(2 %)
G12	0,02	G38	0,02
G1Z	(2 %)		(2 %)
G19	0,02	G39	0,02
Gia	(2 %)		(2 %)
G22	0,02	G40	0,02
GZZ	(2 %)		(2 %)
G25	0,02	C41	0,02
G25	(2 %) G41	G41	(2 %)
G28	0,02	G42	0,02
G20	(2 %)	G42	(2 %)
C20	0,02	G44	0,02
G29	(2 %)	G44	(2 %)
C20	0,02	CAE	0,02
G30	(2 %)	G45	(2 %)

(Werte in Klammern) = Verhältnis ermittelte Kenngröße zum Immissionswert TA Luft

Die Daten in der vorstehenden Tabelle zeigen, dass der Immissionswert der TA Luft in Höhe von 1 μg/(m²·d) an allen Messpunkten deutlich unterschritten wird. Alle bisher ermittelten Kenngrößen sind im Bereich von 2 % des Immissionswertes der TA Luft angesiedelt.

Die folgende Abbildung stellt die ermittelten Kenngrößen nochmals graphisch dar.



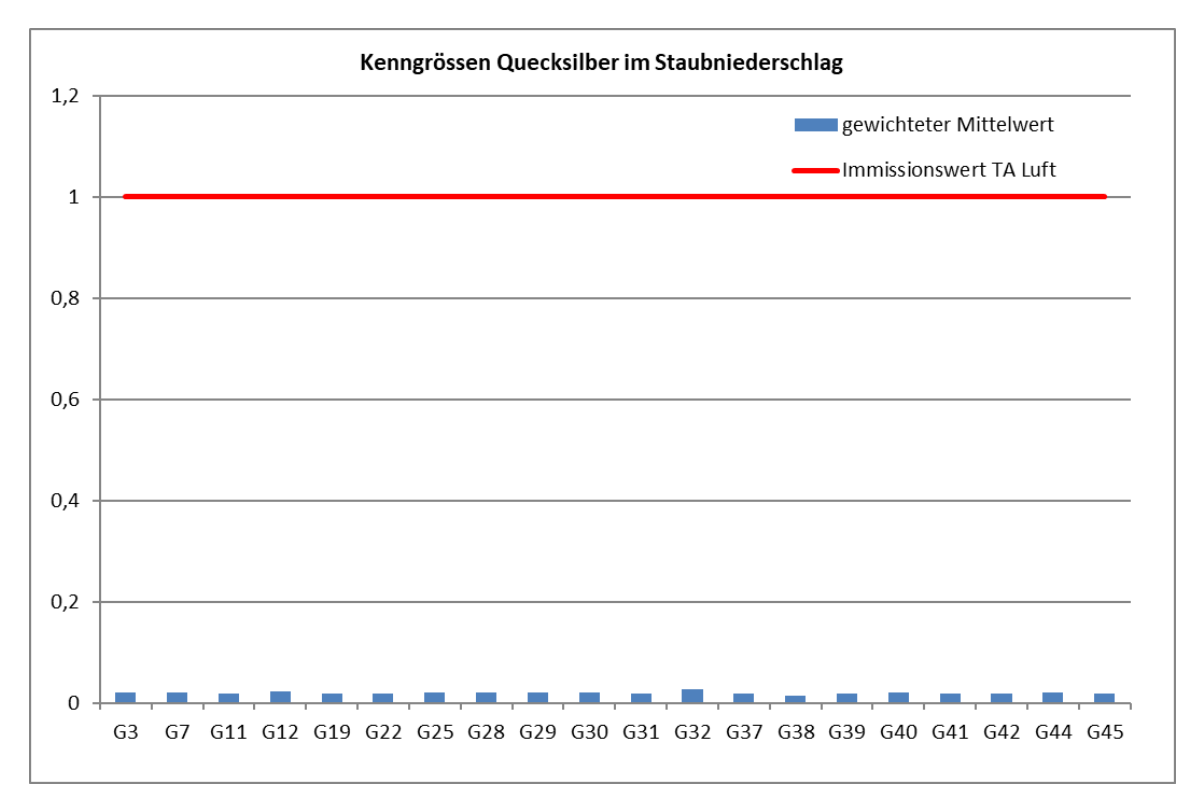


Abb. 8 Kenngrößen Quecksilber im Staubniederschlag in μg/(m²*d)

Prüflaboratorium Immissionsmessungen

Messstelle nach § 29b BlmSchG - DAkkS Akkreditierung nach DIN EN ISO/IEC 17025

fachlich Verantwortlicher BImSchG und Projektleitung fachlich Verantwortlicher BImSchG

Projektleiter Immission

Dipl. Ing. Wolfgang Roß

Dr. Stefan Schmitz

Dipl.-Geol. Lars Bohnenkämper

Bornentampel



6 Anhang

Tab. A1.1 Einzelwerte Staubniederschlag

	01/23	02/23	03/23	04/23	05/23	06/23
Mess-	02.01.23	01.02.23	02.03.23	30.03.23	02.05.23	01.06.23
punkt	01.02.23	02.03.23	30.03.23	02.05.23	01.06.23	03.07.23
		S	Staubniedersc	:hlag [g/(m²*d)]	
G3	0,054	0,078	0,066	0,102	0,158	0,084
G7	0,053	0,083	0,065	0,090	0,083	0,078
G11	0,065	0,080	0,144	0,104	0,105	0,095
G12	0,029	0,024	0,109	0,064	0,091	0,142
G19	0,020	0,032	0,021	0,072	Α	0,128
G22	0,030	0,059	0,052	0,095	0,124	0,139
G25	0,042	0,069	0,161	0,134	0,111	0,101
G28	0,015	0,028	0,055	0,073	0,181	0,099
G29	0,022	0,032	0,051	0,067	0,066	0,082
G30	0,017	0,042	0,072	0,103	0,077	0,101
G31	0,045	0,072	0,091	0,147	0,116	0,217
G32	0,019	0,038	0,036	0,061	0,104	0,079
G37	0,019	0,031	0,023	0,090	0,143	0,099
G38	А	0,040	Α	0,109	0,159	0,097
G39	0,027	0,050	0,033	0,072	0,112	0,097
G40	0,031	0,040	0,045	0,060	0,099	0,069
G41	0,018	0,032	0,027	0,052	0,103	0,071
G42	0,015	0,017	0,017	0,050	0,174	0,064
G44	0,020	0,026	0,035	0,077	0,110	0,071
G45	0,018	0,027	0,025	0,040	0,050	0,050



 Tab. A1.2
 Einzelwerte Staubniederschlag

	07/23	08/23	09/23	10/23	11/23	12/23
Mess-	03.07.23	02.08.23	04.09.23	04.10.23	02.11.23	04.12.23
punkt	02.08.23	04.09.23	04.10.23	02.11.23	04.12.23	03.01.24
		S	Staubniedersc	hlag [g/(m²*d)]	
G3	0,121	0,161	0,058	0,101	0,074	0,099
G7	0,090	Α	0,035	0,079	0,054	0,077
G11	А	0,116	0,102	0,160	0,195	0,159
G12	0,088	0,090	0,059	0,161	Α	0,093
G19	0,027	0,201	0,098	0,040	0,015	0,051
G22	0,055	0,156	0,110	0,085	0,051	0,058
G25	А	0,129	0,063	0,131	Α	0,113
G28	0,115	0,133	0,088	0,060	Α	0,063
G29	0,061	0,120	0,039	0,091	0,031	0,082
G30	А	0,096	0,184	0,116	0,034	0,066
G31	0,180	0,151	0,140	0,116	0,182	0,081
G32	0,045	0,097	0,067	0,076	0,041	0,048
G37	0,142	0,190	0,054	0,045	0,105	0,026
G38	0,065	0,120	0,081	0,062	0,116	0,058
G39	0,036	0,163	0,104	0,074	0,035	0,053
G40	0,046	0,117	0,154	0,065	0,035	0,073
G41	0,050	0,084	0,074	0,060	0,015	0,021
G42	0,087	0,152	0,062	0,131	0,054	0,042
G44	0,049	0,105	0,077	0,046	0,139	0,069
G45	0,024	0,131	0,051	0,053	0,030	0,090



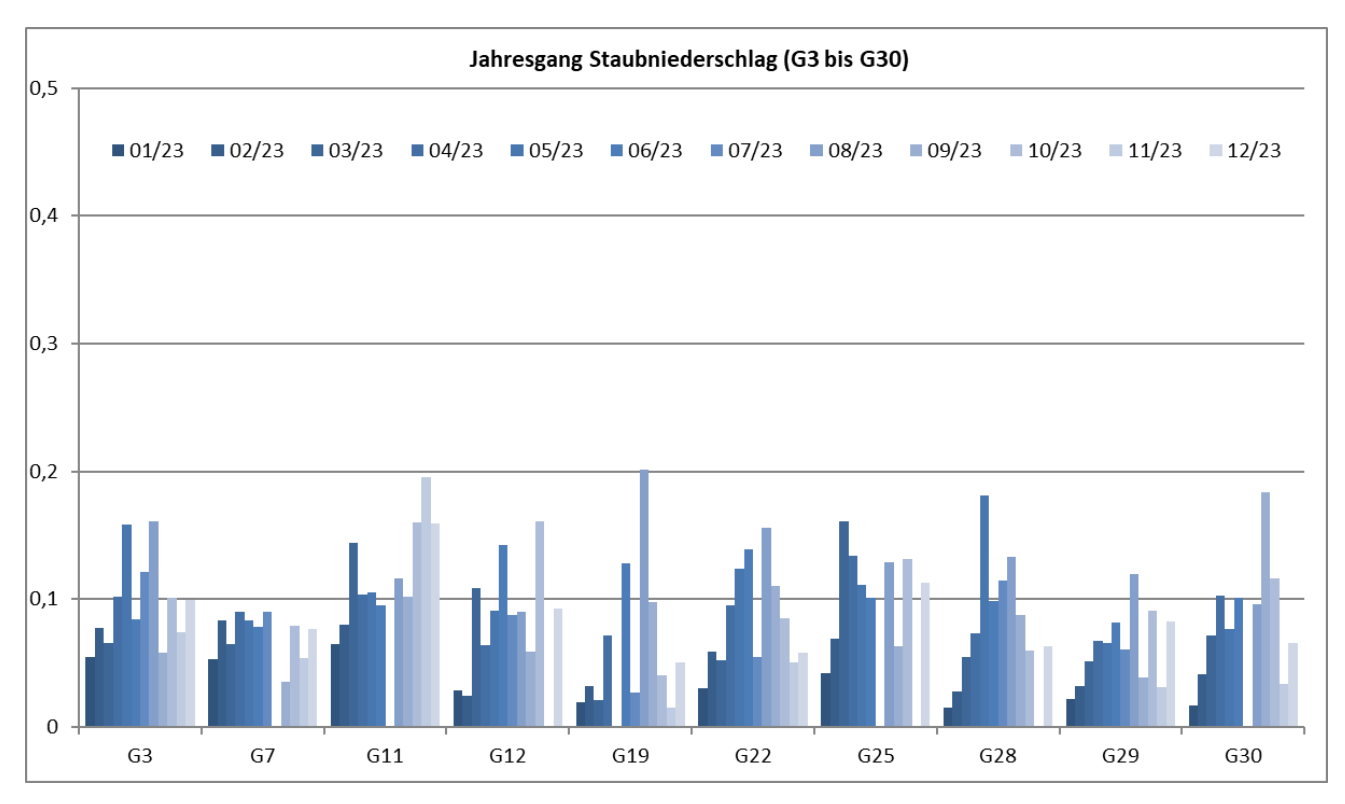


Abb. A1.1 Jahresgang Staubniederschlag

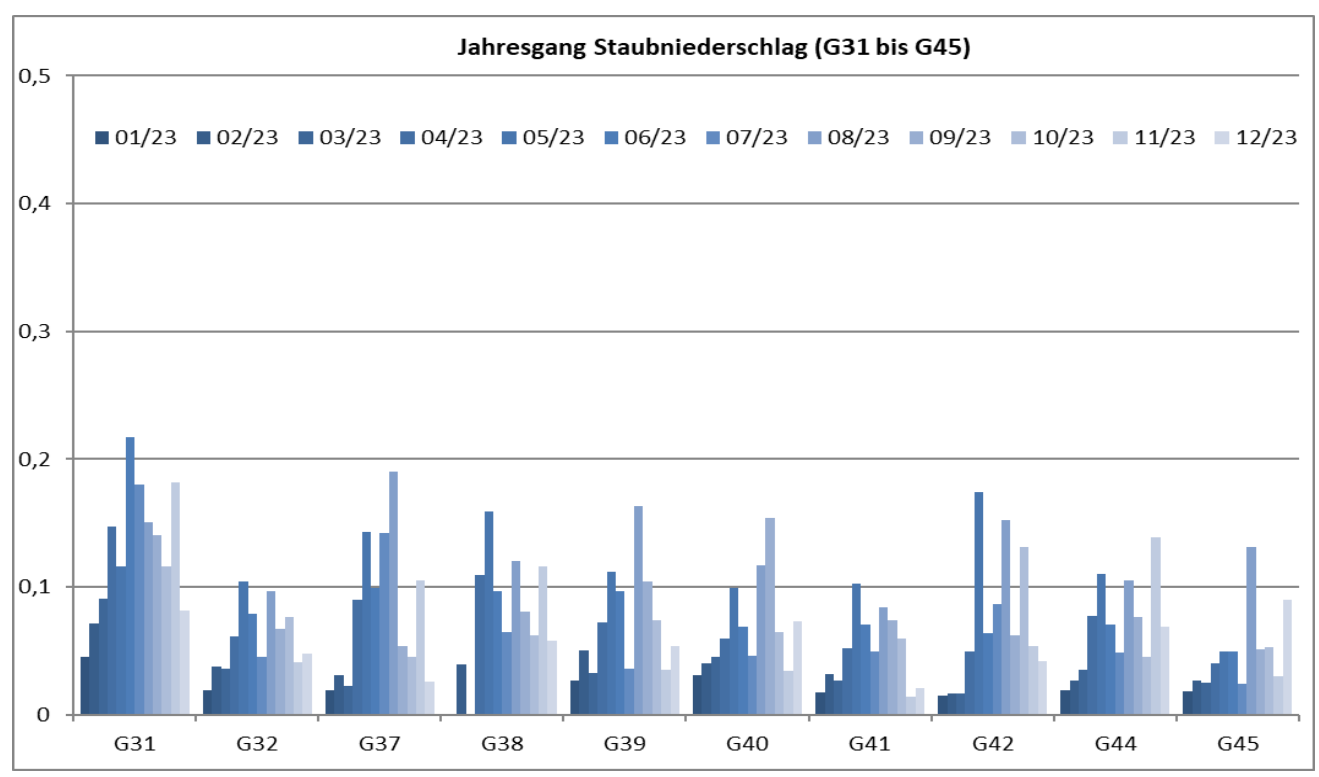


Abb. A1.2 Jahresgang Staubniederschlag



 Tab. A2.1
 Einzelwerte Arsen im Staubniederschlag

	01/23	02/23	03/23	04/23	05/23	06/23
Mess-	02.01.23	01.02.23	02.03.23	30.03.23	02.05.23	01.06.23
punkt	01.02.23	02.03.23	30.03.23	02.05.23	01.06.23	03.07.23
			Arsen im ST	N [μg/(m²*d)]		
G3	0,23	0,46	0,33	0,46	0,99	0,35
G7	0,29	0,59	0,46	0,58	0,34	0,46
G11	0,41	0,93	1,5	0,60	0,72	0,97
G12	0,16	0,24	1,1	0,30	0,30	0,89
G19	0,07	0,26	0,09	0,45	А	0,88
G22	0,14	0,30	0,23	0,69	0,86	0,86
G25	0,25	0,88	1,9	0,61	0,53	0,65
G28	0,08	0,21	0,65	0,33	0,37	0,37
G29	0,08	0,21	0,39	0,35	0,30	0,39
G30	0,05	0,32	0,76	0,95	0,56	0,78
G31	0,20	0,41	0,58	0,80	0,62	1,1
G32	0,05	0,31	0,29	0,74	0,67	0,63
G37	0,03	0,20	0,10	0,65	0,96	0,57
G38	Α	0,35	Α	0,67	0,86	0,79
G39	0,06	0,26	0,18	0,30	0,52	0,75
G40	0,11	0,22	0,19	0,32	0,45	Α
G41	0,06	0,19	0,13	0,24	0,76	0,39
G42	0,07	0,15	0,11	0,30	0,61	Α
G44	0,04	0,21	0,15	0,25	0,34	0,42
G45	0,05	0,26	0,11	0,33	0,35	Α



 Tab. A2.2
 Einzelwerte Arsen im Staubniederschlag

	07/23	08/23	09/23	10/23	11/23	12/23
Mess-	03.07.23	02.08.23	04.09.23	04.10.23	02.11.23	04.12.23
punkt	02.08.23	04.09.23	04.10.23	02.11.23	04.12.23	03.01.24
			Arsen im ST	N [μg/(m²*d)]		
G3	0,61	0,28	0,10	0,26	0,21	0,05
G7	0,54	Α	0,08	0,08	0,18	0,05
G11	А	0,6	0,30	0,38	0,44	0,27
G12	0,87	0,4	0,15	0,15	А	0,20
G19	0,18	0,7	0,08	0,03	0,03	0,03
G22	0,3	0,47	0,2	0,11	0,09	0,03
G25	А	0,73	0,47	0,33	А	0,20
G28	0,66	0,21	0,13	0,12	А	0,1
G29	0,24	0,26	0,14	0,17	0,06	0,03
G30	А	0,5	0,16	0,35	0,12	0,03
G31	0,60	0,53	0,20	0,17	0,22	0,03
G32	0,31	0,45	0,20	0,18	0,14	0,03
G37	0,58	0,56	0,14	0,06	0,08	0,03
G38	0,33	0,3	0,10	0,08	0,13	0,05
G39	0,21	0,4	0,18	0,2	0,10	0,04
G40	0,24	0,4	0,19	0,08	0,11	0,05
G41	0,32	0,4	0,15	0,1	0,06	0,03
G42	1,3	0,3	0,11	0,27	0,1	0,03
G44	0,27	0,4	0,12	0,08	0,21	0,03
G45	0,14	0,5	0,19	0,11	0,07	0,06



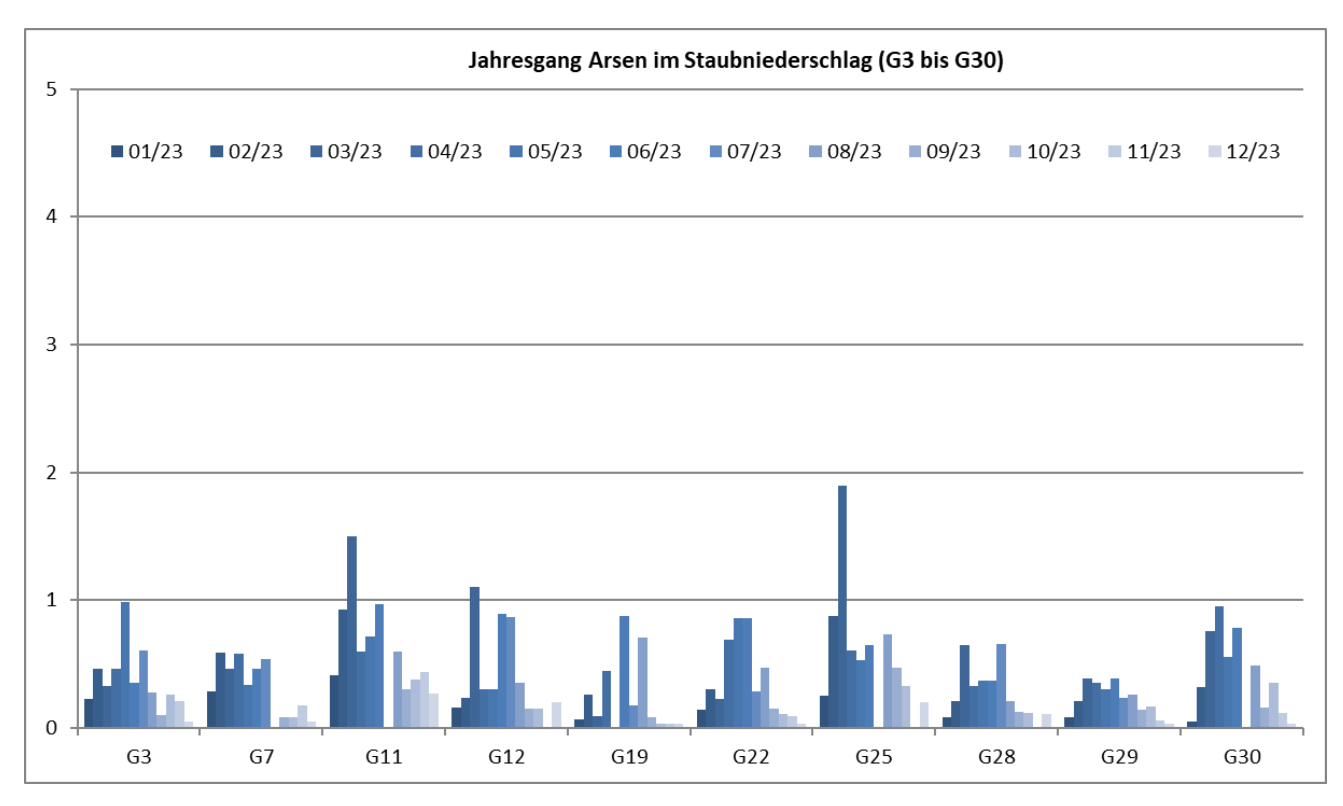


Abb. A2.1 Jahresgang Arsen im Staubniederschlag

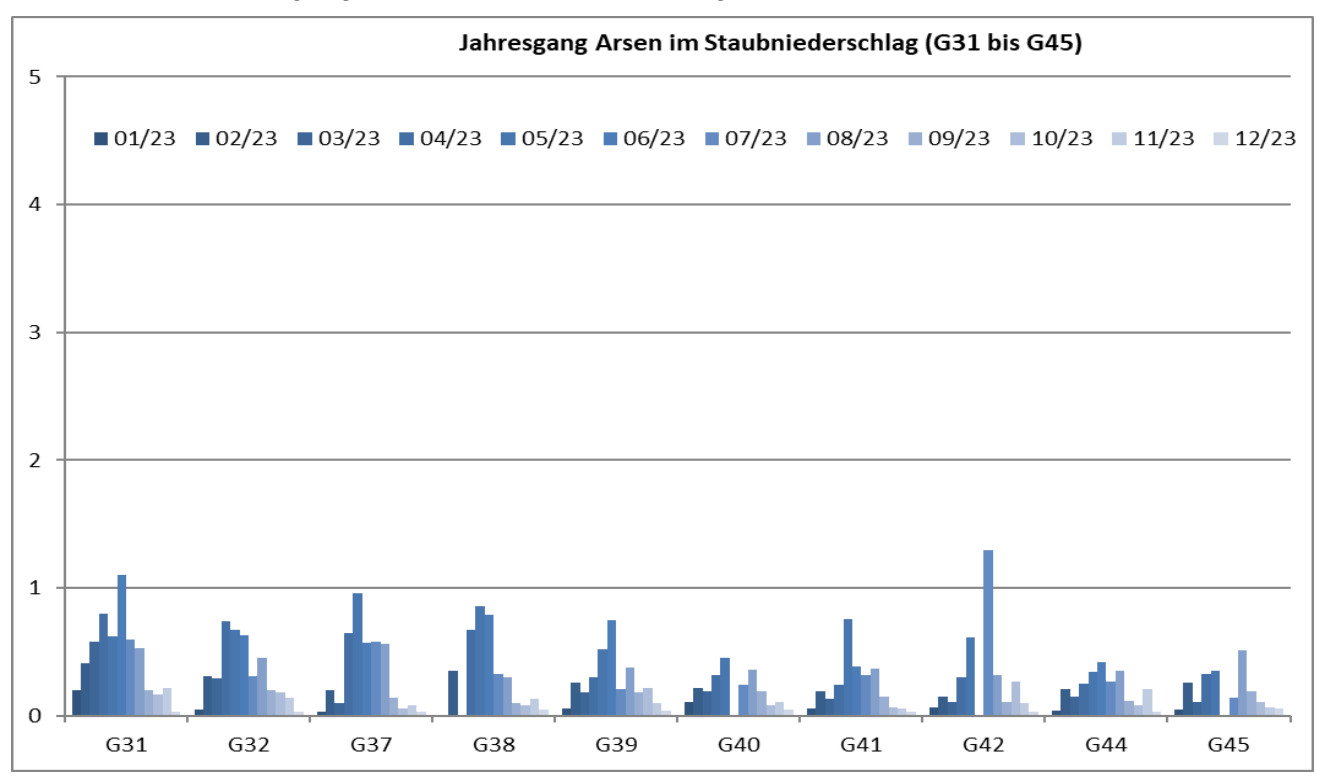


Abb. A2.2 Jahresgang Arsen im Staubniederschlag



Tab. A3.1 Einzelwerte Blei im Staubniederschlag

	01/23	02/23	03/23	04/23	05/23	06/23
Mess-	02.01.23	01.02.23	02.03.23	30.03.23	02.05.23	01.06.23
punkt	01.02.23	02.03.23	30.03.23	02.05.23	01.06.23	03.07.23
			Blei im STN	l [μg/(m²*d)]		
G3	2,7	2,9	16	12	4,3	3,5
G7	2,1	3,0	7,4	5,4	3,8	4,4
G11	3,0	2,9	6,7	3,5	7,3	10
G12	1,7	1,2	6,9	2,7	2,5	7,0
G19	1	1,4	2,4	2,9	А	3,5
G22	4	2,0	2,8	3,3	4,0	4,8
G25	5,1	3,2	6,8	3,4	3,7	3,2
G28	5,2	1,6	3,0	3,6	3,0	2,8
G29	3,4	1,4	2,5	2,7	2,2	2,6
G30	3,2	2,3	3,0	5,0	2,7	3,5
G31	3,2	2,9	4,6	5,1	3,8	Α
G32	2,0	1,7	4,6	3,1	2,4	3,9
G37	1,1	1,3	1,6	4,2	4,7	3,0
G38	А	2,2	Α	3,8	3,2	8,5
G39	1,4	2,3	2,4	2,5	4,8	7,9
G40	1,7	2,3	8,4	2,0	3,2	Α
G41	1,2	1,9	1,9	2,2	4,8	3,4
G42	1,3	1	1,5	2,3	3,1	Α
G44	1,8	1,6	1,9	2,4	3,2	2,8
G45	0,7	1,3	1,8	2,3	1,8	Α



Tab. A3.2 Einzelwerte Blei im Staubniederschlag

	07/23	08/23	09/23	10/23	11/23	12/23
Mess-	02.01.23	01.02.23	02.03.23	30.03.23	02.05.23	01.06.23
punkt	01.02.23	02.03.23	30.03.23	02.05.23	01.06.23	03.07.23
			Blei im STN	l [μg/(m²*d)]		
G3	3,6	2,9	1,1	0,3	1,4	0,8
G7	3,5	Α	0,7	0,0	0,8	0,8
G11	А	3,4	1,2	3,4	1,1	6,9
G12	3,3	2,5	0,9	0,4	А	1,3
G19	1	2,7	0,9	0,1	0,3	0,8
G22	5	2,4	1,0	1,0	0,8	6,9
G25	А	3,3	2,0	0,4	А	1,1
G28	2,4	7,1	4,5	0,3	А	5,1
G29	1,8	7,3	1,3	0,5	1,9	0,8
G30	А	5,5	3,3	0,6	0,6	1,7
G31	5,0	3,8	1,1	0,4	1,0	0,7
G32	1,6	3,6	0,9	0,4	0,6	0,6
G37	4,9	3,1	1,2	1,3	0,6	0,5
G38	4,0	2,4	0,8	0,9	0,4	0,9
G39	2,1	3,0	1,3	2,0	2,7	0,6
G40	2,5	4,0	2,3	0,3	0,6	0,8
G41	2,2	3,1	0,7	1,4	0,6	0,7
G42	1,9	2	0,6	7,2	2,4	1,2
G44	3,8	5,6	0,9	0,0	1,8	0,9
G45	1,2	9,7	1,1	0,2	0,5	1,4



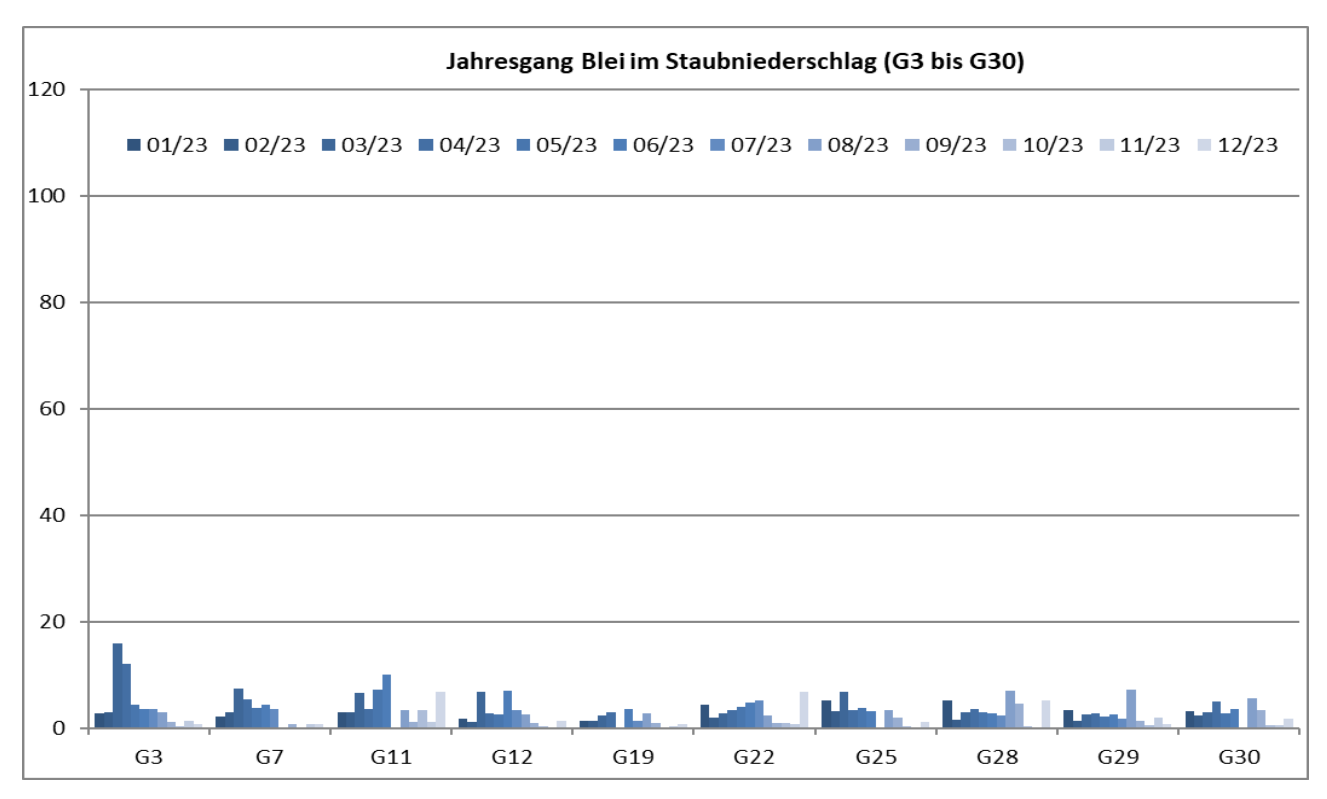


Abb. A3.1 Jahresgang Blei im Staubniederschlag

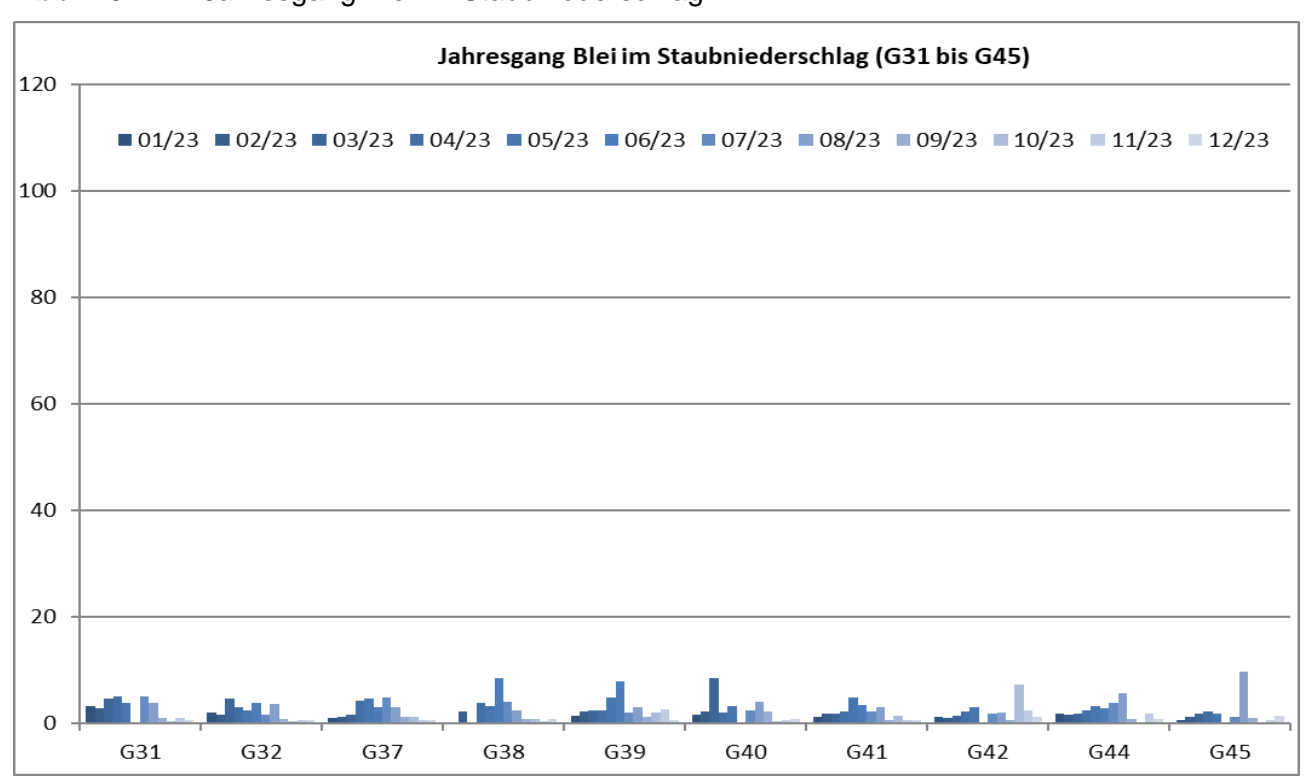


Abb. A3.2 Jahresgang Blei im Staubniederschlag



 Tab. A4.1
 Einzelwerte Cadmium im Staubniederschlag

	01/23	02/23	03/23	04/23	05/23	06/23
Mess-	02.01.23	01.02.23	02.03.23	30.03.23	02.05.23	01.06.23
punkt	01.02.23	02.03.23	30.03.23	02.05.23	01.06.23	03.07.23
		C	admium im S	STN [µg/(m²*c	l)]	
G3	0,04	0,07	0,07	0,08	0,06	0,05
G7	0,04	0,08	0,09	0,09	0,05	0,06
G11	0,05	0,10	0,11	0,09	0,06	0,07
G12	0,03	0,03	0,10	0,06	0,05	0,09
G19	0,03	0,06	0,05	0,06	Α	0,06
G22	0,03	0,06	0,07	0,08	0,07	0,07
G25	0,04	0,08	0,11	0,13	0,07	0,09
G28	0,03	0,06	0,08	0,08	0,07	0,05
G29	0,03	0,04	0,09	0,07	0,05	0,05
G30	0,02	0,06	0,08	0,12	0,04	0,06
G31	0,05	0,06	0,10	0,11	0,06	0,12
G32	0,05	0,05	0,07	0,08	0,04	0,05
G37	0,03	0,05	0,04	0,09	0,09	0,05
G38	Α	0,07	Α	0,09	0,07	0,06
G39	0,02	0,08	0,07	0,06	0,07	0,08
G40	0,04	0,06	0,12	0,07	0,06	Α
G41	0,03	0,06	0,06	0,08	0,07	0,05
G42	0,02	0,04	0,04	0,09	0,09	Α
G44	0,04	0,05	0,05	0,08	0,06	0,05
G45	0,03	0,06	0,06	0,08	0,05	Α



 Tab. A4.2
 Einzelwerte Cadmium im Staubniederschlag

	07/23	08/23	09/23	10/23	11/23	12/23
Mess-	03.07.23	02.08.23	04.09.23	04.10.23	02.11.23	04.12.23
punkt	02.08.23	04.09.23	04.10.23	02.11.23	04.12.23	03.01.24
		C	admium im S	STN [µg/(m²*c	l)]	
G3	0,06	0,04	0,01	0,02	0,02	0,02
G7	0,06	Α	0,01	0,02	0,02	0,02
G11	А	0,09	0,02	0,03	0,03	0,04
G12	0,06	0,08	0,02	0,02	Α	0,02
G19	0,04	0,17	0,01	0,02	0,01	0,02
G22	0,01	0,10	0,01	0,03	0,02	0,03
G25	А	0,07	0,03	0,02	Α	0,02
G28	0,04	0,04	0,02	0,02	Α	0,05
G29	0,05	0,10	0,04	0,02	0,02	0,02
G30	А	0,07	0,01	0,02	0,02	0,02
G31	0,08	0,09	0,02	0,02	0,02	0,02
G32	0,04	0,06	0,02	0,02	0,02	0,02
G37	0,07	0,19	0,07	0,04	0,02	0,02
G38	0,06	0,11	0,01	0,02	0,01	0,03
G39	0,04	0,08	0,02	0,03	0,02	0,02
G40	0,05	0,11	0,03	0,02	0,02	0,02
G41	0,06	0,06	0,02	0,02	0,02	0,02
G42	0,03	0,07	0,01	0,03	0,02	0,02
G44	0,04	0,10	0,01	0,02	0,02	0,02
G45	0,03	0,10	0,02	0,02	0,02	0,03



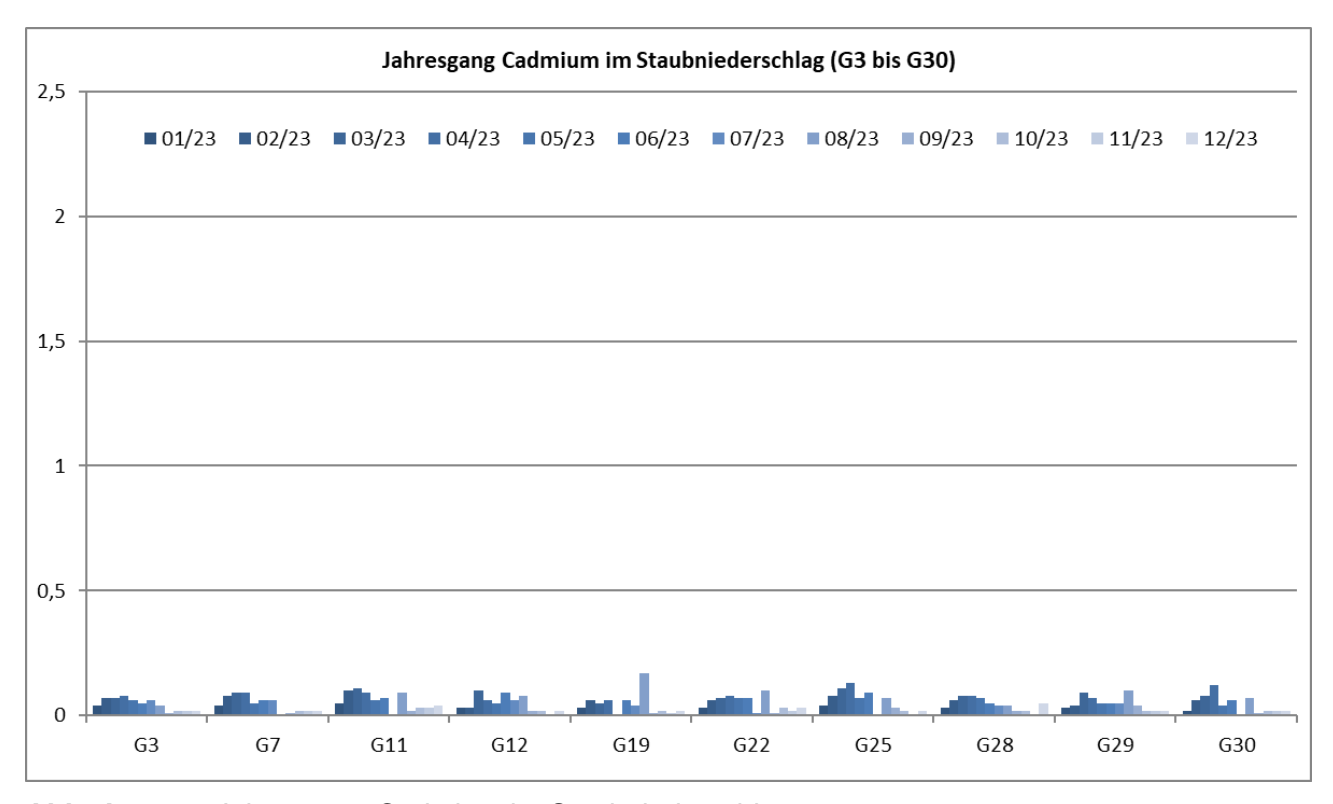


Abb. A4.1 Jahresgang Cadmium im Staubniederschlag

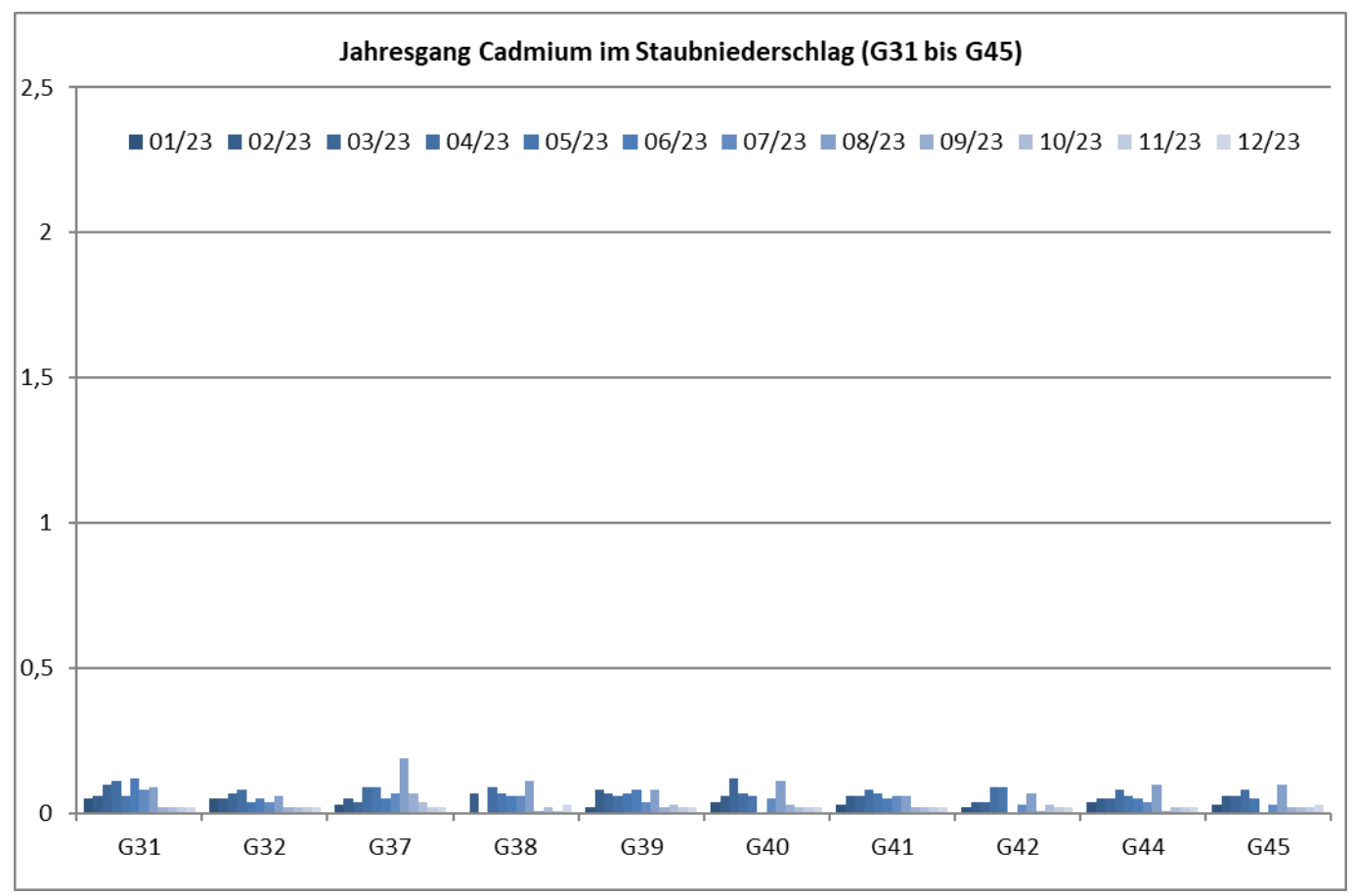


Abb. A4.2 Jahresgang Cadmium im Staubniederschlag



 Tab. A5.1
 Einzelwerte Nickel im Staubniederschlag

	01/23	02/23	03/23	04/23	05/23	06/23
Mess-	02.01.23	01.02.23	02.03.23	30.03.23	02.05.23	01.06.23
punkt	01.02.23	02.03.23	30.03.23	02.05.23	01.06.23	03.07.23
			Nickel im ST	N [μg/(m²*d)]		
G3	1,3	1,6	1,3	1,4	2,8	1,3
G7	1,1	1,6	1,5	1,8	1,2	1,8
G11	1,6	2,3	3,2	3,5	2,6	2,4
G12	1,3	1,1	2,2	1,5	1,1	2,9
G19	0,6	1,3	0,6	1,2	Α	3,3
G22	0,8	1,3	1,2	1,9	2,3	3,2
G25	1,1	1,5	3,3	2,3	5,2	2,6
G28	0,5	0,9	1,2	2,0	1,7	1,8
G29	0,7	1,0	1,3	1,1	1,2	2,2
G30	0,7	1,3	1,6	3,5	1,7	2,8
G31	1,0	1,7	1,9	2,8	1,9	3,8
G32	1,0	1,1	1,3	1,5	1,5	2,2
G37	0,5	1,0	0,8	1,7	2,7	6,6
G38	Α	1,2	Α	2,8	2,2	2,3
G39	0,7	1,3	1,0	1,8	2,0	2,2
G40	0,9	1,2	1,5	2,4	1,9	Α
G41	0,6	1,0	0,7	1,2	2,2	1,6
G42	0,5	1,3	0,6	1,0	1,5	Α
G44	0,6	0,9	0,9	1,1	1,6	1,7
G45	0,6	0,9	0,8	1,0	1,4	Α



 Tab. A5.2
 Einzelwerte Nickel im Staubniederschlag

	07/23	08/23	09/23	10/23	11/23	12/23
Mess-	02.01.23	01.02.23	02.03.23	30.03.23	02.05.23	01.06.23
punkt	01.02.23	02.03.23	30.03.23	02.05.23	01.06.23	03.07.23
			Nickel im ST	N [μg/(m²*d)]		
G3	1,6	1,0	0,5	1,2	0,4	0,3
G7	2,1	Α	0,3	0,6	0,3	0,5
G11	А	1,9	0,8	1,1	0,8	0,9
G12	1,7	1,5	0,5	1,5	А	0,3
G19	0,7	1,8	0,4	0,6	4,4	0,2
G22	1,2	2,1	0,5	0,8	0,5	0,2
G25	А	2,1	1,9	0,8	А	0,4
G28	1,7	0,7	0,4	0,7	А	0,3
G29	1,0	1,0	0,7	1,0	0,0	0,3
G30	А	1,7	0,5	0,9	0,2	0,3
G31	2,6	3,0	0,7	0,8	1,2	0,4
G32	1,1	1,6	0,5	0,9	0,6	0,2
G37	2,3	1,6	0,5	0,4	0,2	0,3
G38	1,3	1,3	0,4	0,7	0,8	0,4
G39	1,0	3,2	0,5	0,9	0,4	0,4
G40	1,2	1,5	0,6	0,7	0,4	1,1
G41	1,1	1,6	0,6	0,7	0,2	0,6
G42	1,2	1,2	0,3	0,9	0,2	0,2
G44	1,4	1,6	0,3	0,6	0,4	0,5
G45	0,6	1,6	0,6	0,6	0,8	1,1



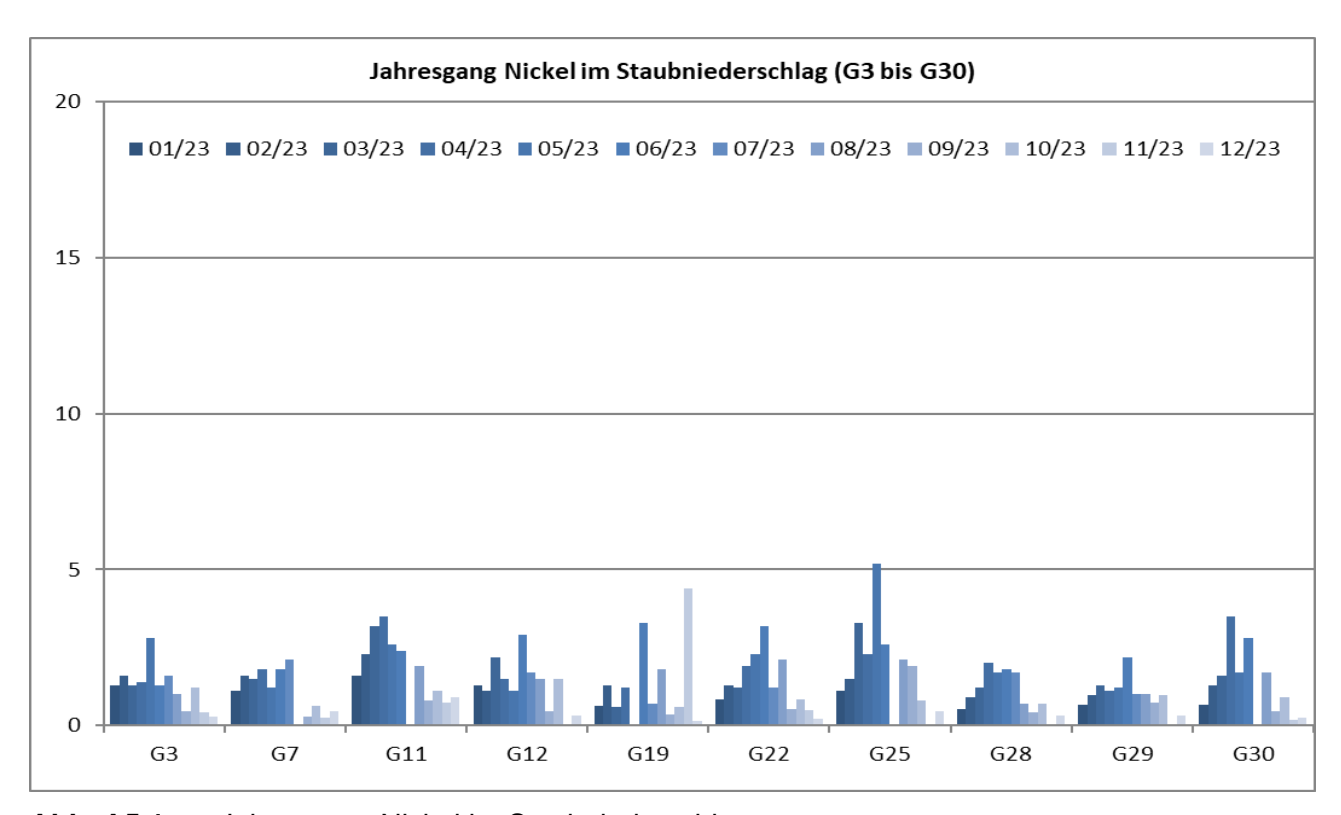


Abb. A5.1 Jahresgang Nickel im Staubniederschlag

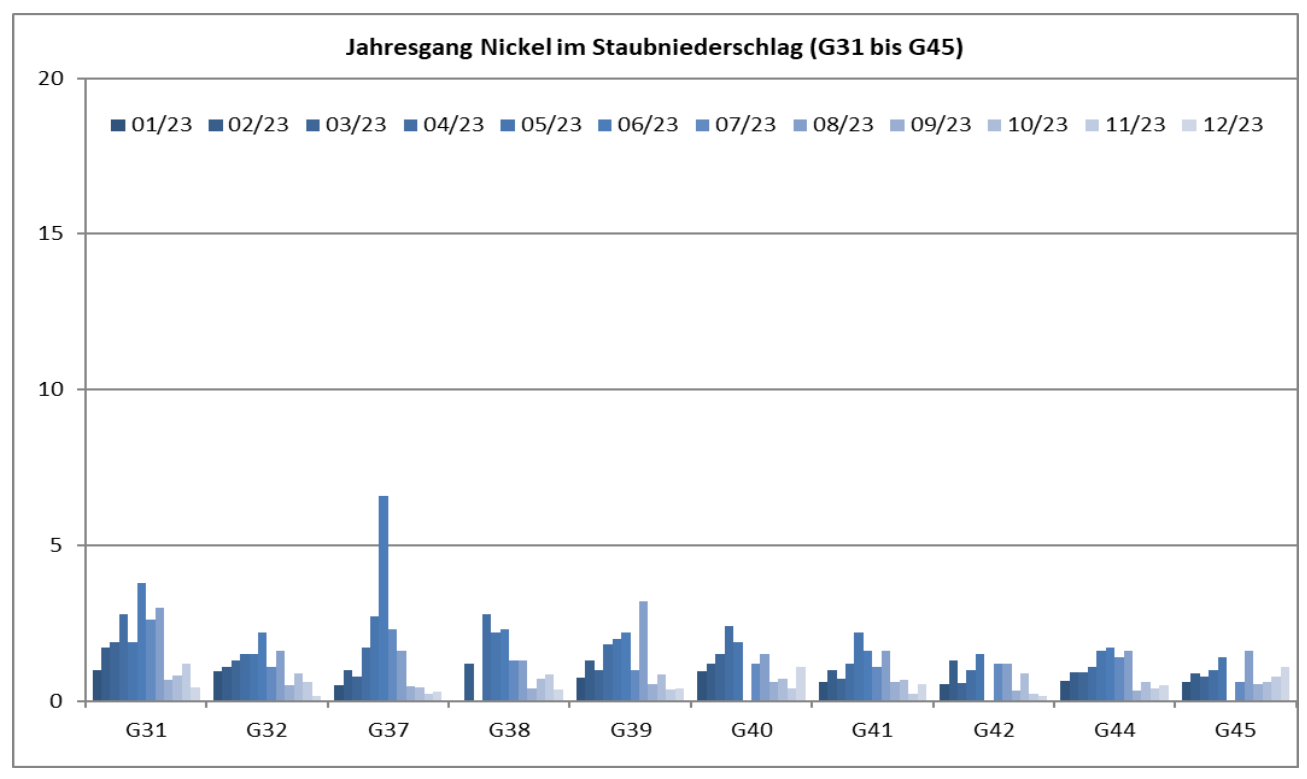


Abb. A5.2 Jahresgang Nickel im Staubniederschlag



 Tab. A6.1
 Einzelwerte Thallium im Staubniederschlag

	01/23	02/23	03/23	04/23	05/23	06/23
Mess-	02.01.23	01.02.23	02.03.23	30.03.23	02.05.23	01.06.23
punkt	01.02.23	02.03.23	30.03.23	02.05.23	01.06.23	03.07.23
		7	Thallium im S	TN [µg/(m²*d))]	
G3	0,01	0,02	0,02	0,02	0,04	0,01
G7	0,01	0,03	0,02	0,02	0,01	0,02
G11	0,02	0,04	0,07	0,03	0,02	0,03
G12	0,01	0,01	0,05	0,01	0,01	0,05
G19	0,01	0,01	0,01	0,02	Α	0,03
G22	0,01	0,02	0,02	0,03	0,04	0,04
G25	0,02	0,04	0,08	0,02	0,02	0,03
G28	0,01	0,02	0,03	0,01	0,02	0,02
G29	0,01	0,02	0,02	0,01	0,01	0,02
G30	0,01	0,02	0,03	0,04	0,02	0,03
G31	0,02	0,03	0,03	0,04	0,03	0,05
G32	0,01	0,02	0,02	0,03	0,02	0,03
G37	0,01	0,02	0,01	0,03	0,05	0,03
G38	А	0,02	Α	0,03	0,03	0,03
G39	0,01	0,02	0,01	0,02	0,03	0,03
G40	0,01	0,02	0,02	0,01	0,02	Α
G41	0,01	0,02	0,01	0,02	0,03	0,02
G42	0,01	0,02	0,01	0,01	0,02	Α
G44	0,01	0,02	0,01	0,01	0,01	0,02
G45	0,01	0,02	0,01	0,02	0,01	Α



 Tab. A6.2
 Einzelwerte Thallium im Staubniederschlag

	07/23	08/23	09/23	10/23	11/23	12/23
Mess-	02.01.23	01.02.23	02.03.23	30.03.23	02.05.23	01.06.23
punkt	01.02.23	02.03.23	30.03.23	02.05.23	01.06.23	03.07.23
		7	Thallium im S	TN [µg/(m²*d))]	
G3	0,02	0,01	0,01	0,01	0,01	0,01
G7	0,03	Α	0,01	0,01	0,01	0,01
G11	А	0,03	0,01	0,01	0,01	0,01
G12	0,03	0,02	0,01	0,01	А	0,01
G19	0,01	0,04	0,01	0,01	0,01	0,01
G22	0,03	0,02	0,01	0,01	0,01	0,01
G25	А	0,03	0,03	0,01	А	0,01
G28	0,03	0,01	0,01	0,01	А	0,01
G29	0,01	0,01	0,01	0,01	0,01	0,01
G30	А	0,03	0,01	0,01	0,01	0,01
G31	0,03	0,03	0,01	0,01	0,01	0,01
G32	0,01	0,02	0,01	0,01	0,01	0,01
G37	0,05	0,04	0,01	0,01	0,01	0,01
G38	0,02	0,02	0,01	0,01	0,01	0,01
G39	0,01	0,02	0,01	0,01	0,01	0,01
G40	0,01	0,02	0,01	0,01	0,01	0,01
G41	0,02	0,02	0,01	0,01	0,01	0,01
G42	0,01	0,02	0,01	0,01	0,01	0,01
G44	0,01	0,02	0,01	0,01	0,01	0,01
G45	0,01	0,03	0,01	0,01	0,01	0,01



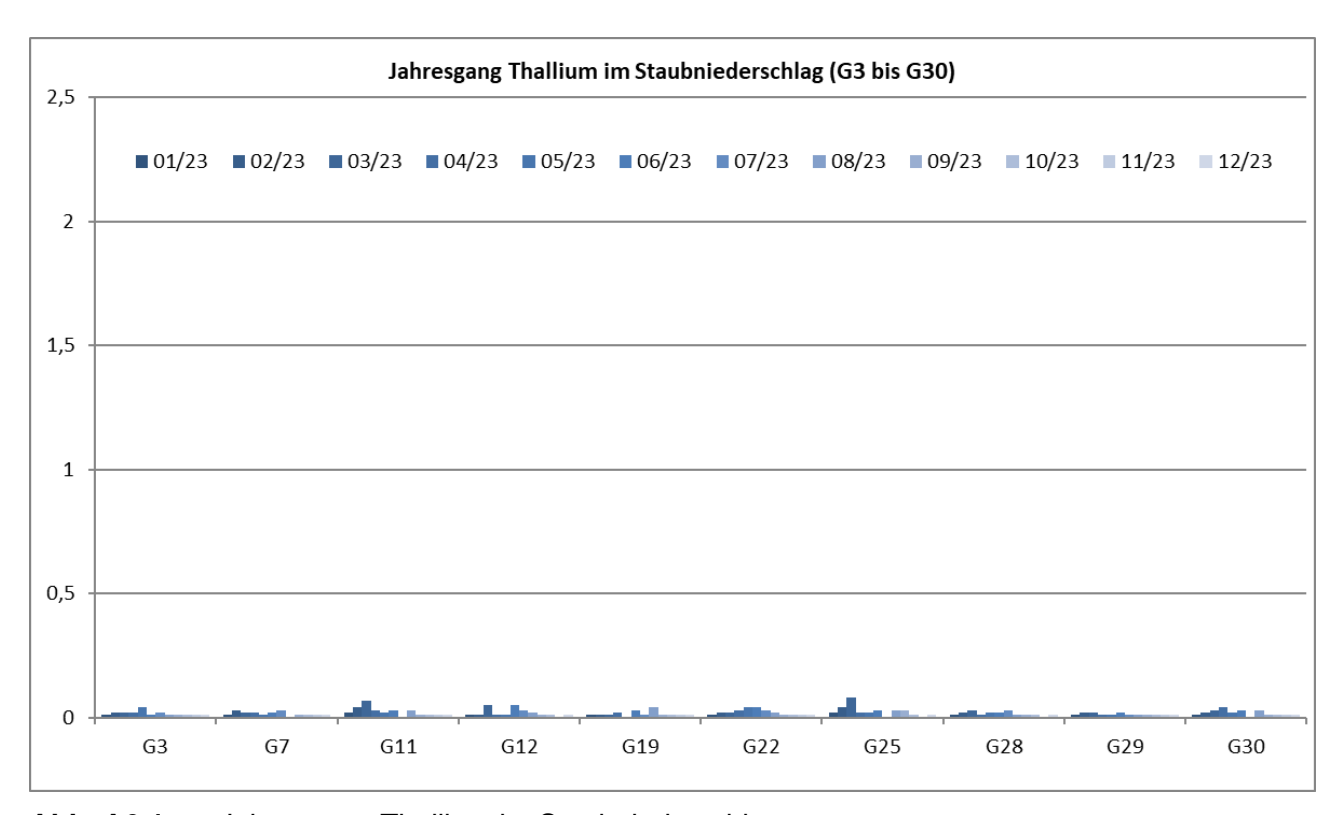


Abb. A6.1 Jahresgang Thallium im Staubniederschlag

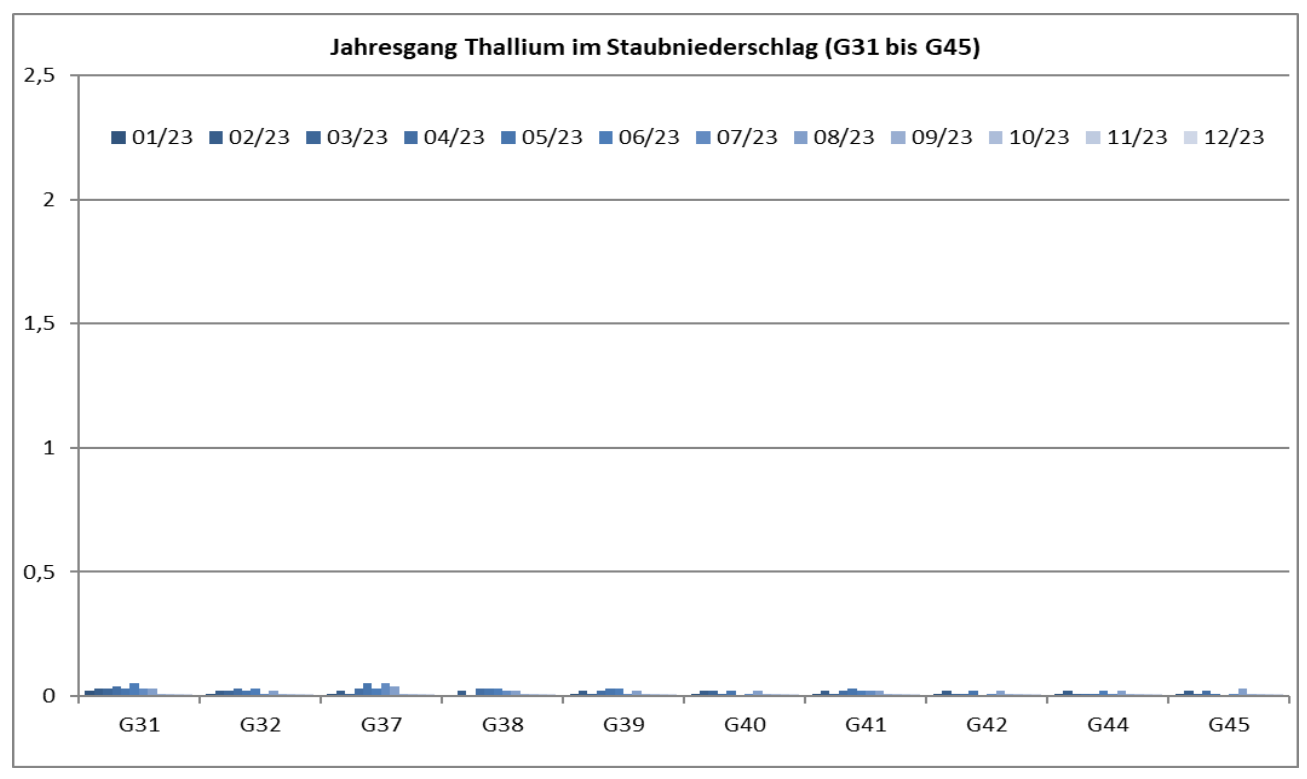


Abb. A6.2 Jahresgang Thallium im Staubniederschlag



Tab. A7.1 Einzelwerte Quecksilber im Staubniederschlag

	01/23	02/23	03/23	04/23	05/23	06/23
Mess-	02.01.23	01.02.23	02.03.23	30.03.23	02.05.23	01.06.23
punkt	01.02.23	02.03.23	30.03.23	02.05.23	01.06.23	03.07.23
		Qı	iecksilber im	STN [µg/(m²*	d)]	
G3	0,01	0,01	0,07	0,01	0,01	0,01
G7	0,01	0,01	0,08	0,01	0,01	0,01
G11	0,01	0,01	0,07	0,01	0,01	0,01
G12	0,01	0,01	0,08	0,01	0,01	0,01
G19	0,01	0,01	0,06	0,01	Α	0,01
G22	0,01	0,01	0,06	0,01	0,01	0,01
G25	0,01	0,01	0,07	0,01	0,01	0,01
G28	0,01	0,01	0,07	0,01	0,01	0,01
G29	0,01	0,01	0,07	0,01	0,01	0,01
G30	0,01	0,01	0,07	0,01	0,01	0,01
G31	0,01	0,01	0,06	0,01	0,01	0,01
G32	0,01	0,01	0,07	0,01	0,01	0,01
G37	0,01	0,01	0,06	0,01	0,01	0,01
G38	А	0,01	Α	0,01	0,01	0,01
G39	0,01	0,01	0,05	0,01	0,01	0,01
G40	0,01	0,01	0,05	0,01	0,01	0,01
G41	0,01	0,01	0,06	0,01	0,01	0,01
G42	0,01	0,01	0,05	0,01	0,01	0,01
G44	0,02	0,01	0,07	0,01	0,01	0,01
G45	0,01	0,01	0,05	0,01	0,01	0,01



 Tab. A7.2
 Einzelwerte Quecksilber im Staubniederschlag

	07/23	08/23	09/23	10/23	11/23	12/23
Mess-	02.01.23	01.02.23	02.03.23	30.03.23	02.05.23	01.06.23
punkt	01.02.23	02.03.23	30.03.23	02.05.23	01.06.23	03.07.23
		Qı	uecksilber im	STN [µg/(m²*	d)]	
G3	0,03	0,02	0,02	0,01	0,03	0,03
G7	0,01	0,01	0,04	0,01	0,03	0,03
G11	0,02	0,01	0,01	0,01	0,03	0,03
G12	0,02	0,01	0,05	0,01	0,03	0,03
G19	0,01	0,01	0,02	0,01	0,03	0,03
G22	0,01	0,01	0,03	0,01	0,03	0,03
G25	0,02	0,01	0,04	0,01	0,03	0,03
G28	0,02	0,01	0,03	0,01	0,03	0,03
G29	0,02	0,01	0,03	0,02	0,03	0,03
G30	0,02	0,01	0,03	0,01	0,03	0,03
G31	0,01	0,01	0,03	0,01	0,03	0,03
G32	0,01	0,07	0,04	0,01	0,03	0,03
G37	0,01	0,01	0,02	0,01	0,03	0,03
G38	0,01	0,01	0,02	0,01	0,03	0,03
G39	0,01	0,01	0,02	0,01	0,03	0,03
G40	0,01	0,01	0,06	0,01	0,03	0,03
G41	0,01	0,01	0,02	0,01	0,03	0,03
G42	0,01	0,01	0,02	0,01	0,03	0,03
G44	0,01	0,01	0,04	0,01	0,03	0,03
G45	0,01	0,01	0,02	0,01	0,03	0,03



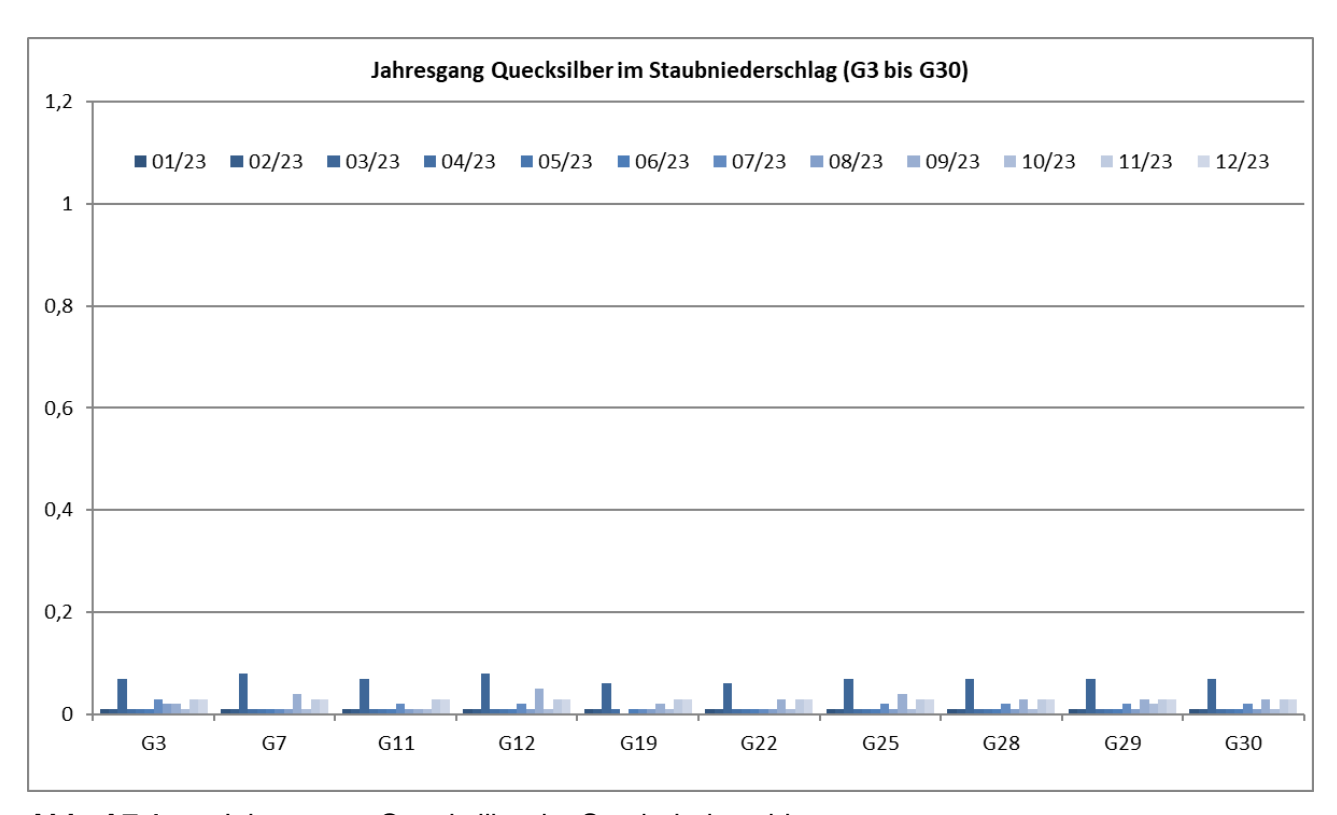


Abb. A7.1 Jahresgang Quecksilber im Staubniederschlag

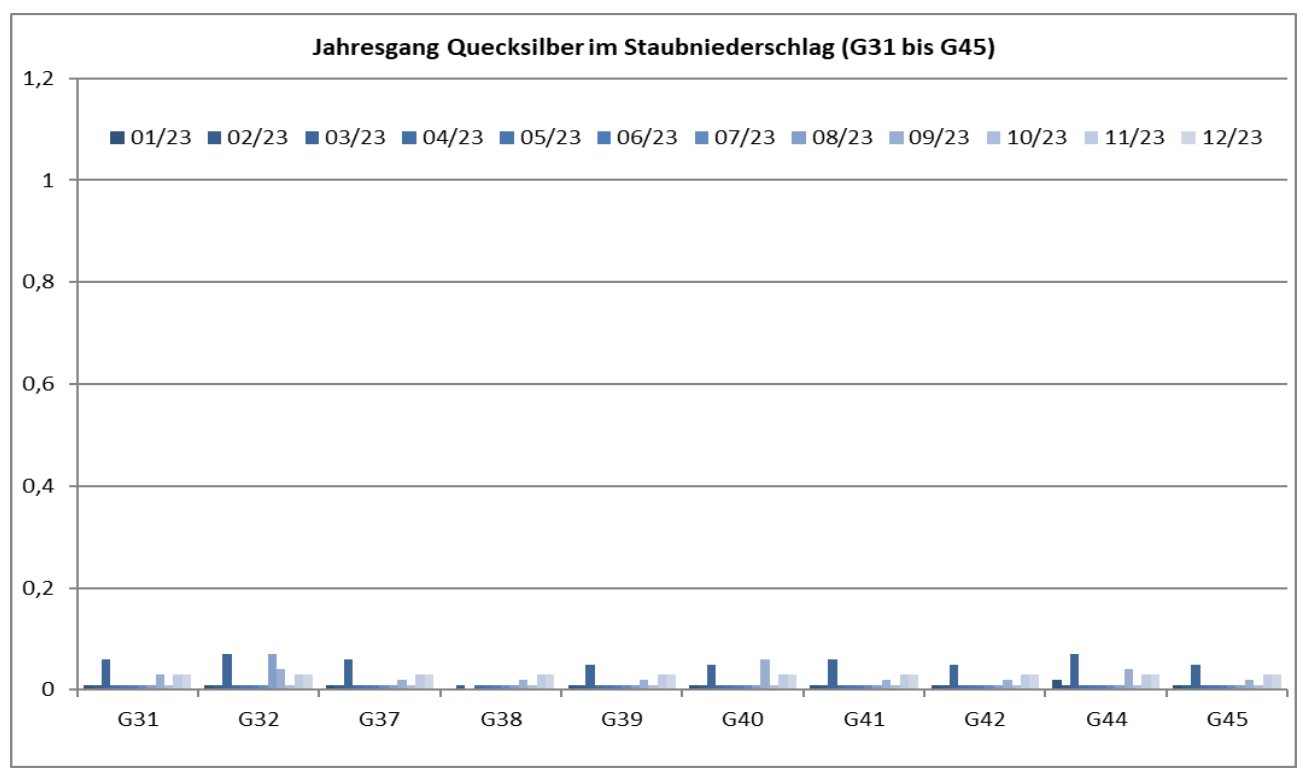


Abb. A7.2 Jahresgang Quecksilber im Staubniederschlag

Seite 46 von 67 Unser Zeichen/Erstelldatum: IS-UT-IMM/ WRo/ 07.05.2024 Datei: LX17765.1 RWG2023 AB (07.05.2024).docx



Tab. A8.1Messpunktbeschreibung

	Messpunkt	Adresse	Beschreibung
1	RWG 3 St. Leonhard Straße	StLeonhard-Straße 45, 41517 Grevenbroich (Gindorf)	Am Ende der StLeonhard-Straße am Zugang zu einer Pferdekoppel (hinter Digitel-Gerät vom LANUV)
2	RWG 7 Wassermühle	Zur Wassermühle 1, 41517 Grevenbroich (Gindorf)	Im Bereich der Zufahrt zum Bauernhof "Zur Wassermühle 1" am Weidezaun.
3	RWG 11 Friedhof Jüchen	Friedhofstrasse 25, 41363 Jüchen	Schräg gegenüber von Friedhofstraße 25 auf dem Parkplatz zum Friedhof an einer Leitplanke (am Bahnübergang)
4	RWG 12 Scheulen- bend	Scheulenbend 24, 41363 Jüchen	Am Gartenzaun von "Scheulenbend 14" zur angrenzenden Hundewiese
5	RWG 19 Holzweiler- straße	Holzweilerstraße 23, 52445 Titz (Jackerath)	Am Rand des Gartens von "Holzweiler- straße 23" (erreichbar über Trampelpfad an der L241)
6	RWG 22 Stockenend	Stockenend 31, 52445 Titz (Jackerath)	Am Zaun zur Wiese an der Kreuzung "Stockenend" und "Friedhofstraße"
7	RWG 25 Birkenallee	Birkenallee 68, 41363 Jüchen (Hochneukirch)	Am Zaun zu den Kleingärten neben "Bir- kenallee 68"
8	RWG 28 Bürgerhaus	Von Werth Straße 21, 41363 Jüchen (Hochneukirch	Am Rand der Wiese hinter dem Bürgerhaus.
9	RWG 29 Schweine- markt	Schweinemarkt 42, 41189 Mönchengladbach (Wanlo)	Am Zaun neben der Einfahrt zum "Geflügelhof Schweinemarkt 42"
10	RWG 30 Friedhof Wanlo	Hochstraße, 41189 Mönchengladbach (Wanlo)	Am Ende der Hochstraße aus Wanlo kommend. Beschrankte Freifläche zwischen Friedhof und der A 61.

Seite 47 von 67 Unser Zeichen/Erstelldatum: IS-UT-IMM/ WRo/ 07.05.2024 Datei: LX17765.1 RWG2023 AB (07.05.2024).docx



 Tab. A8.2
 Messpunktbeschreibung

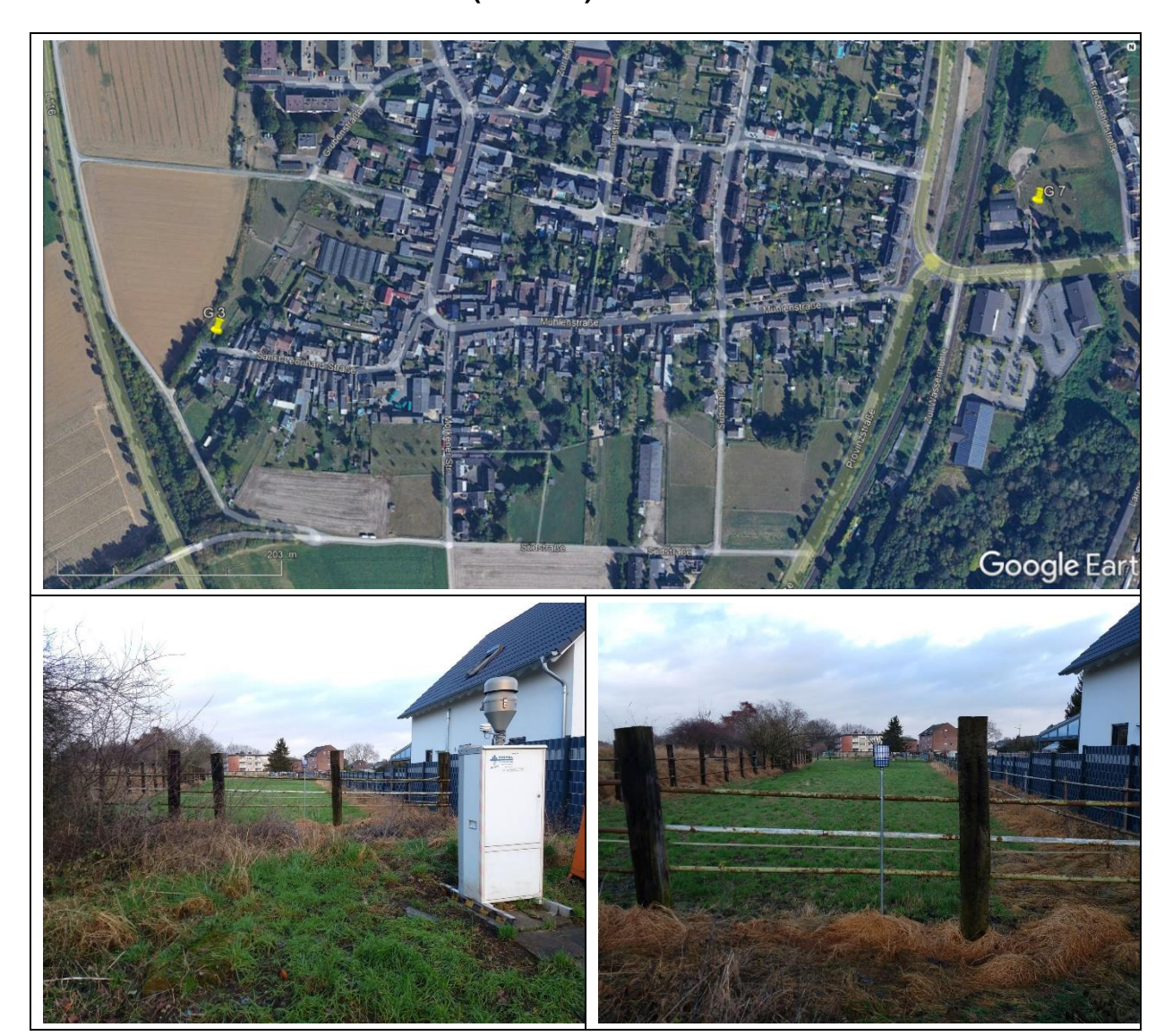
	Messpunkt	Adresse	Beschreibung
11	RWG 31 Westricher Straße	Westricher Straße 4, 41812 Erkelenz (Keyenberg)	Am Rand des Grundstücks "Westricher Straße 4" am Zaun.
12	RWG 32 Borschemicher Straße	Borschemicher Straße 34, 41812 Erkelenz (Keyenberg)	Ortsausgang Keyenberg zur L277 rechts an einer Wiese an der Borschemicher Straße (nahe Verkehrsschild)
13	RWG 37 Weidwäsch	In der Weidwäsch 2d, 41812 Erkelenz (Holzweiler)	In der Verlängerung des "Schützenweges" nach Einmündung "In der Weidwäsch" (ca. 200 m) an einem Weidezaun
14	RWG 38 Kindsfeld	Im Kindsfeld 14, 41812 Erkelenz (Holzweiler)	Grundstücksrand von "Im Kindsfeld 14" (Stichstrasse zu den Feldern am Ortsrand)
15	RWG 39 Quickstraße	Quickstraße, 41812 Erkelenz (Kückhoven)	Am Ende des parallel zur L19 verlaufenden Teilstücks der Quickstraße Richtung Kück- hoven (Weidezaun zur Wiese)
16	RWG 40 Wockerath	Annastraße 16, 41812 Erkelenz (Wockerath)	Am südlichen Ortsrand von Wockerath am Umspanntrafo neben Bauernhof "Anna- straße 16"
17	RWG 41 NSB Kaulhausen	Kaulhausen 65, 41812 Erkelenz (Kaulhausen)	Auf dem Grundstück der Fa. NSB "Kaulhausen 65" (vor Gartenteich)
18	RWG 42 Pferdekoppel	Kaulhausen 98, 41812 Erkelenz (Kaulhausen)	Am Ende des Grundstücks "Kaulhausen 98" am Zaun zwischen zwei Pferdekoppeln (erreichbar über Feldweg)
19	RWG 44 Berverath	Berverath 8 41815 Erkelenz	Am Ortsausgang Berverath nach Oberwestrich links am Feldrand
20	RWG 45 Oberwestrich	Oberwestrich 3 41812 Erkelenz	Am südlichen Ortsrand von Oberwestrich, rechts auf dem Feldrand am Pumpwerk WA 6310

Tab. A9.1 Fotos Messpunkte

Seite 48 von 67 Unser Zeichen/Erstelldatum: IS-UT-IMM/ WRo/ 07.05.2024 Datei: LX17765.1 RWG2023 AB (07.05.2024).docx



RWG 3 - Sankt Leonhard Straße (Gindorf)



Seite 49 von 67 Unser Zeichen/Erstelldatum: IS-UT-IMM/ WRo/ 07.05.2024 Datei: LX17765.1 RWG2023 AB (07.05.2024).docx



RWG 7 - Wassermühle (Gindorf)



Seite 50 von 67 Unser Zeichen/Erstelldatum: IS-UT-IMM/ WRo/ 07.05.2024 Datei: LX17765.1 RWG2023 AB (07.05.2024).docx



RWG 11 - Friedhof (Jüchen)



Seite 51 von 67 Unser Zeichen/Erstelldatum: IS-UT-IMM/ WRo/ 07.05.2024 Datei: LX17765.1 RWG2023 AB (07.05.2024).docx



RWG 12 - Scheulenbend (Jüchen)



Seite 52 von 67 Unser Zeichen/Erstelldatum: IS-UT-IMM/ WRo/ 07.05.2024 Datei: LX17765.1 RWG2023 AB (07.05.2024).docx



RWG 19 - Holzweilerstraße (Jackerath)



Seite 53 von 67 Unser Zeichen/Erstelldatum: IS-UT-IMM/ WRo/ 07.05.2024 Datei: LX17765.1 RWG2023 AB (07.05.2024).docx



RWG 22 - Stockenend (Jackerath)



Seite 54 von 67 Unser Zeichen/Erstelldatum: IS-UT-IMM/ WRo/ 07.05.2024 Datei: LX17765.1 RWG2023 AB (07.05.2024).docx



RWG 25 – Birkenallee (Hochneukirch)



Seite 55 von 67 Unser Zeichen/Erstelldatum: IS-UT-IMM/ WRo/ 07.05.2024 Datei: LX17765.1 RWG2023 AB (07.05.2024).docx



RWG 28 – Bürgerhaus (Hochneukirch)



Seite 56 von 67 Unser Zeichen/Erstelldatum: IS-UT-IMM/ WRo/ 07.05.2024 Datei: LX17765.1 RWG2023 AB (07.05.2024).docx



RWG 29 - Schweinemarkt (Wanlo)



Seite 57 von 67 Unser Zeichen/Erstelldatum: IS-UT-IMM/ WRo/ 07.05.2024 Datei: LX17765.1 RWG2023 AB (07.05.2024).docx



RWG 30 - Friedhof (Wanlo)



Seite 58 von 67 Unser Zeichen/Erstelldatum: IS-UT-IMM/ WRo/ 07.05.2024 Datei: LX17765.1 RWG2023 AB (07.05.2024).docx



RWG 31 – Westricher Straße (Keyenberg)



Seite 59 von 67 Unser Zeichen/Erstelldatum: IS-UT-IMM/ WRo/ 07.05.2024 Datei: LX17765.1 RWG2023 AB (07.05.2024).docx



RWG 32 - Borschemicher Straße (Keyenberg)



Seite 60 von 67 Unser Zeichen/Erstelldatum: IS-UT-IMM/ WRo/ 07.05.2024 Datei: LX17765.1 RWG2023 AB (07.05.2024).docx



RWG 37 - Weidwäsch (Holzweiler)



Seite 61 von 67 Unser Zeichen/Erstelldatum: IS-UT-IMM/ WRo/ 07.05.2024 Datei: LX17765.1 RWG2023 AB (07.05.2024).docx



RWG 38 - Kindsfeld (Holzweiler)



Seite 62 von 67 Unser Zeichen/Erstelldatum: IS-UT-IMM/ WRo/ 07.05.2024 Datei: LX17765.1 RWG2023 AB (07.05.2024).docx



RWG 39 – Quickstraße (Kückhoven)



Seite 63 von 67 Unser Zeichen/Erstelldatum: IS-UT-IMM/ WRo/ 07.05.2024 Datei: LX17765.1 RWG2023 AB (07.05.2024).docx



RWG 40 - Wockerath



Seite 64 von 67 Unser Zeichen/Erstelldatum: IS-UT-IMM/ WRo/ 07.05.2024 Datei: LX17765.1 RWG2023 AB (07.05.2024).docx



RWG 41 - NSB (Kaulhausen)



Seite 65 von 67 Unser Zeichen/Erstelldatum: IS-UT-IMM/ WRo/ 07.05.2024 Datei: LX17765.1 RWG2023 AB (07.05.2024).docx



RWG 42 – Pferdekoppel (Kaulhausen)



Seite 66 von 67 Unser Zeichen/Erstelldatum: IS-UT-IMM/ WRo/ 07.05.2024 Datei: LX17765.1 RWG2023 AB (07.05.2024).docx



RWG 44 – Berverath



Seite 67 von 67 Unser Zeichen/Erstelldatum: IS-UT-IMM/ WRo/ 07.05.2024 Datei: LX17765.1 RWG2023 AB (07.05.2024).docx



RWG 45 – Oberwestrich

